

Trombolisi - embolectomia loco-regionale nello stroke ischemico iperacuto: analisi retrospettiva a doppio centro.

Vincenzo Di Egidio

UOC Radiologia Ospedale Civile “G. Mazzini”, Teramo

UOC Radiologia Ospedale “S. Spirito”, Pescara

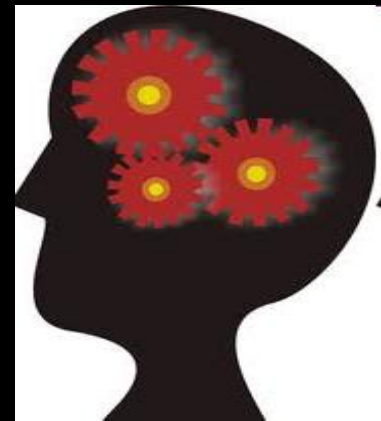
Dr. Vincenzo Di Egidio

DIRETTORE U.O.C. RADIODIAGNOSTICA E RADIOLOGIA VASCOLARE ED
INTERVENTISTICA

No disclosures

Stroke

- 1 stroke ogni 53 sec
- 1 morte per stroke ogni 3.3 min (436/giorno)
- 750,000 strokes nuovi e ricorrenti per anno
- Mortalità
 - 7.6% 30d
 - 16-23% 3 mesi

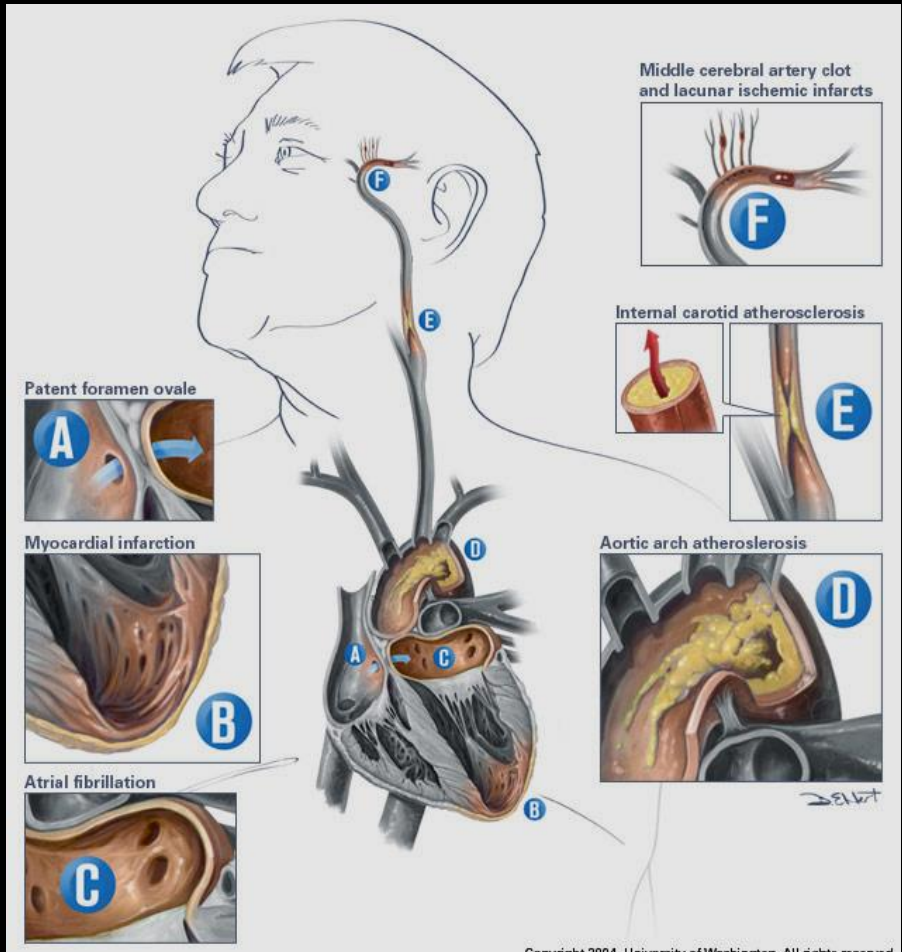


Stroke

- 500,000 Pz/anno
- Prima causa di disabilità.
- Permanenza ospedaliera media 42 giorni.
- Costi sociali: 20 billion dollars/years
(1 **bilione**: 1.000.000.000.000)

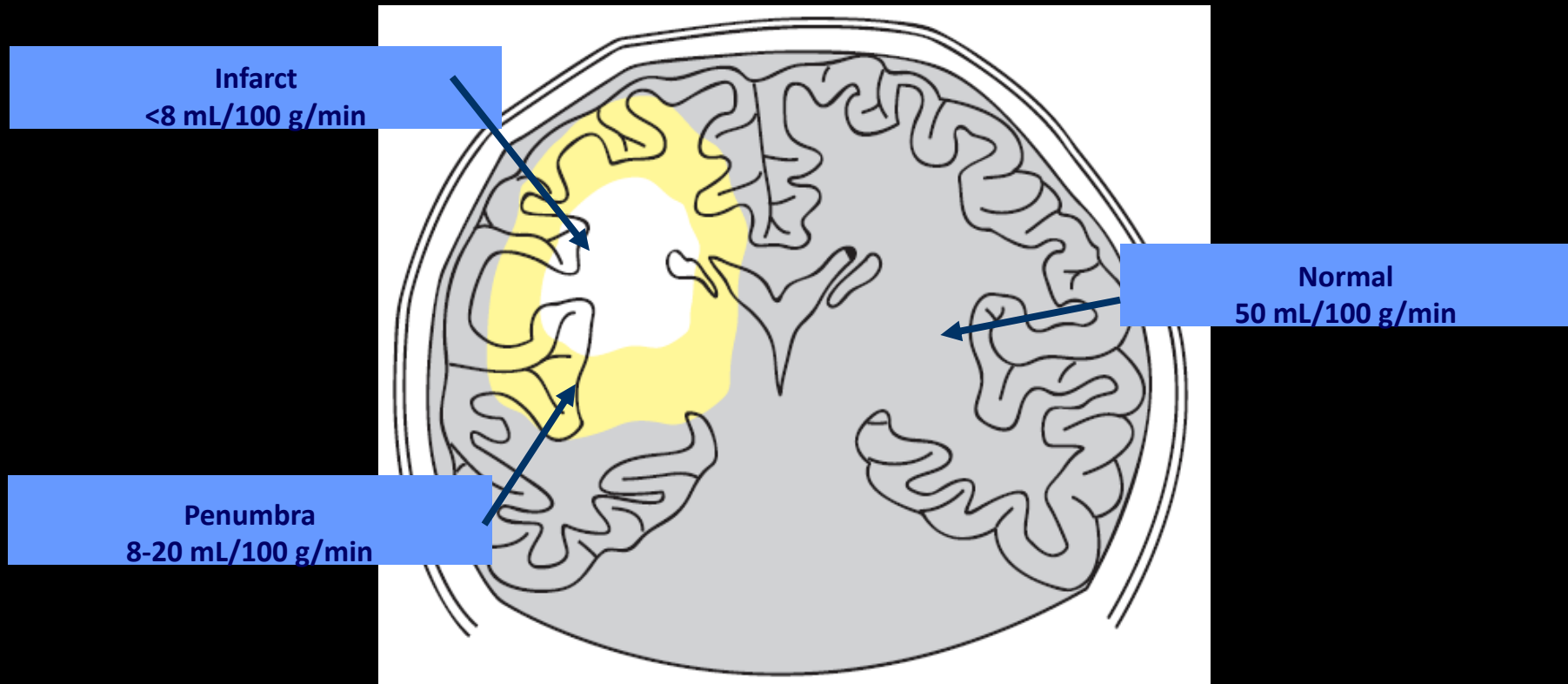


- Occlusione (50%)
 - Large vessel (ICA)
 - Branch (MCA)
 - Perforator (lacunar)
- Embolizzazione (25%)
 - Intra/Extracranial
 - Cardiac
- Criptogenetica (25%)



Ischemic Penumbra

*Area of brain with compromised blood supply
that can be salvaged by timely intervention*



Increased MTT Area Statistics

(CBF reduced per number of slice)

Normal CBV (CBV): normal CBV area into the CBF reduced region (Green in the Summary Maps).

Reduced CBV (rCBV): CBV reduced area into the CBF reduced region (Red in the Summary Maps)

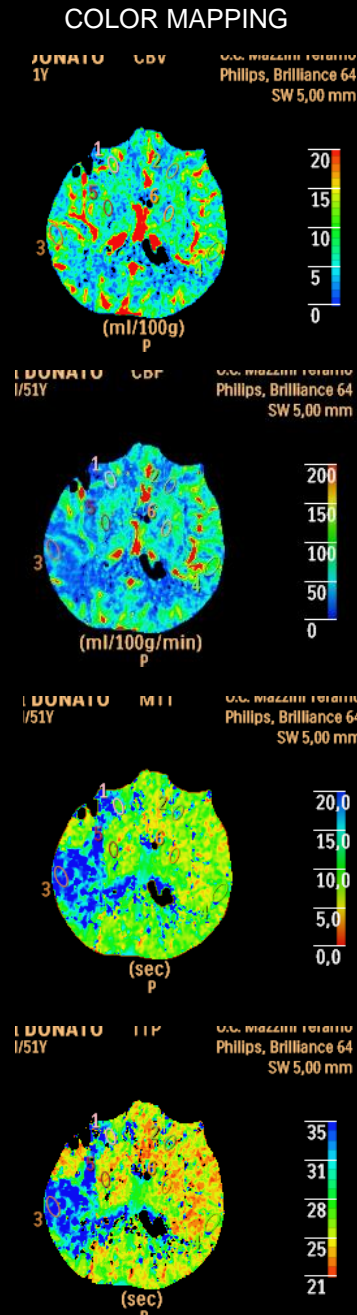
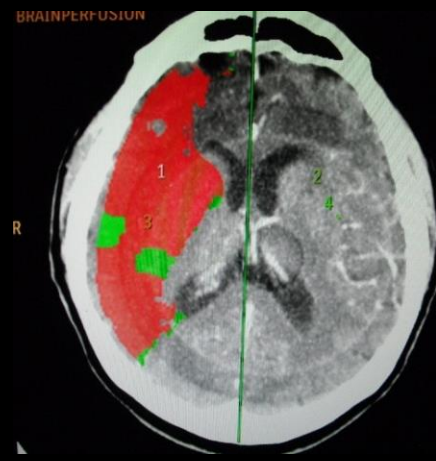
Index (In): ratio between reduced BF and normal BV area (green) and the reduced BF area (green+Red).



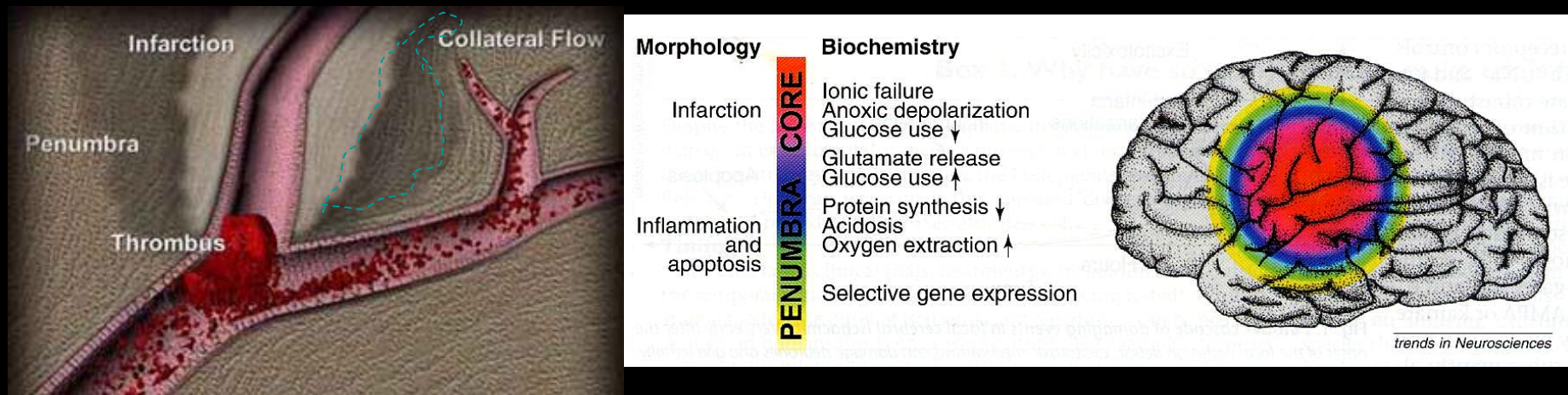
SUMAMRY MAP

Green: increase of MTT above 50%, CBV above 2,0ml/100g.

Red: increase of MTT over 50%, CBV below 2,0ml/100g.

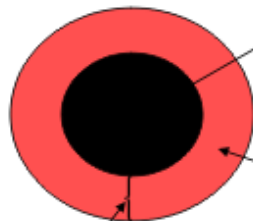


Dinamiche spazio-temporali dello sviluppo e dell'evoluzione del danno ischemico cerebrale



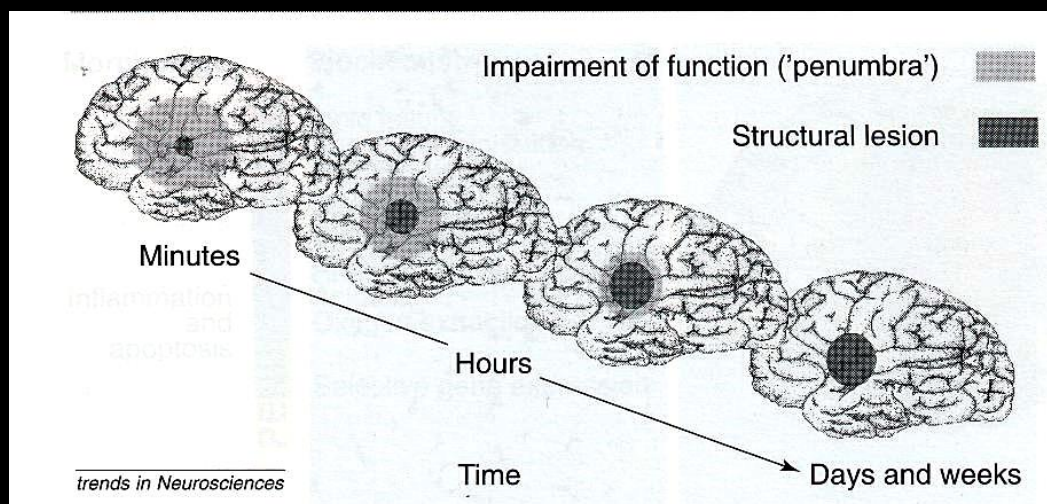
Ischemic Penumbra

DWI / PWI Mismatch

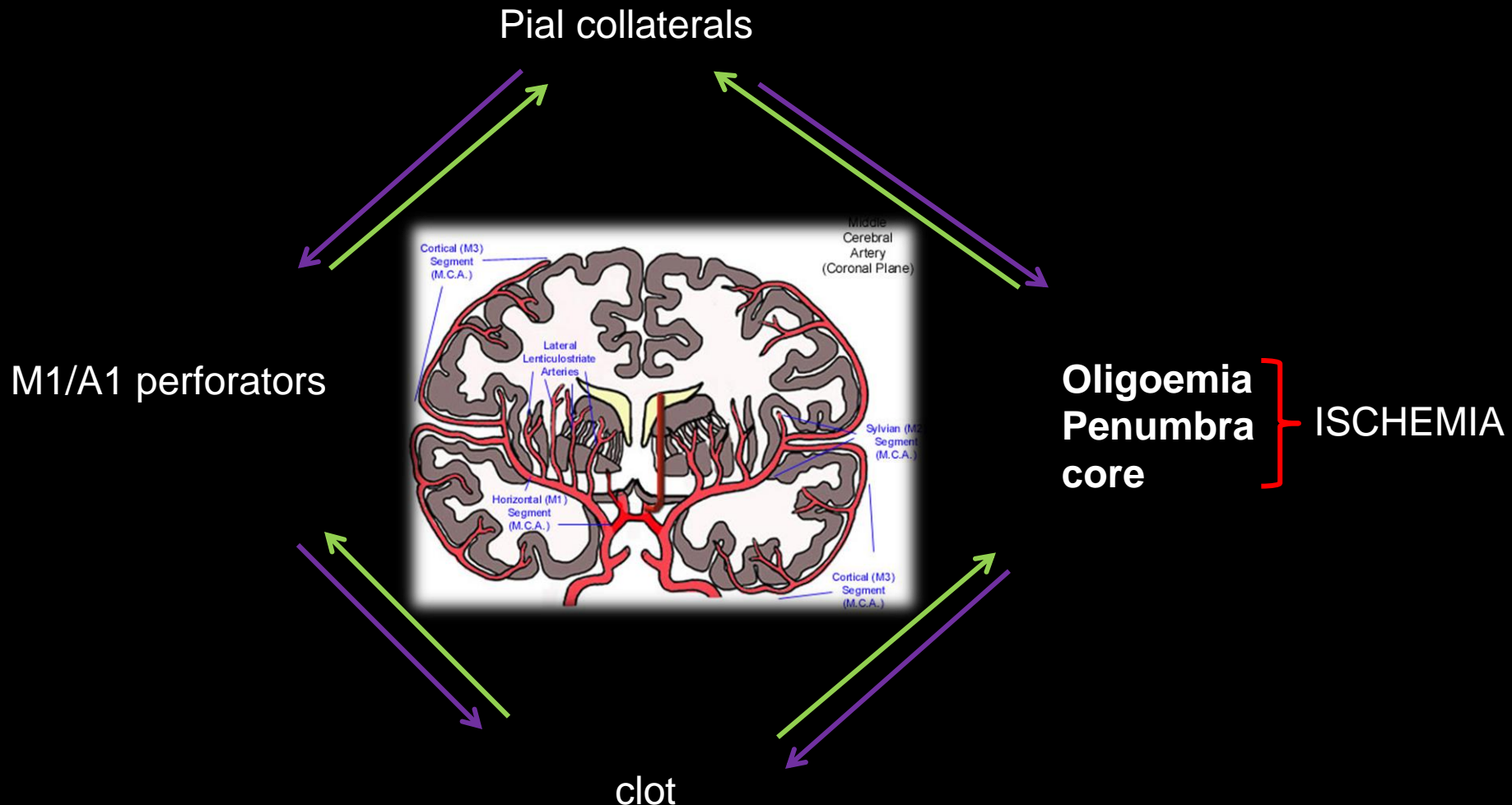


- Diffusion Abnormality
- CBF < 10 ml/100g/min
- Cytotoxic edema
- Irreversible ischemia

- Perfusion Abnormality
- CBF = 10-18 ml/100g/min
- Neuronal paralysis
- Reversible ischemia



THE BASIC INTERACTING COMPONENTS OF ACUTE NEOPALLIAL ISCHEMIA



Courtesy of Prof. Valavanis

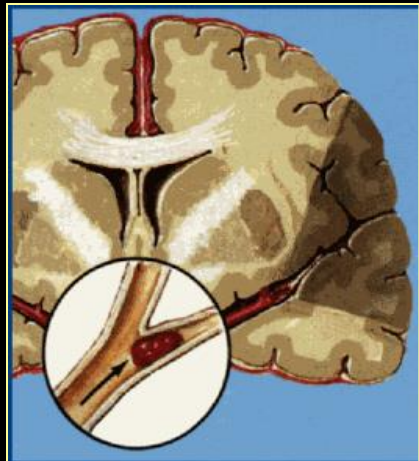
Meccanismo e Strategie della Riperfusione



SCOPO: valutare le differenti modalità operative di rimozione del trombo in caso di stroke iperacuto, meccanica e farmacologica da sole od in associazione, con i relativi tassi di ricanalizzazione nel breve e lungo periodo.

Riperfusione

• E' dimostrato che il rapido ripristino del flusso ematico cerebrale in caso di occlusione vascolare acuta può determinare il completo recupero della funzionalità del tessuto cerebrale



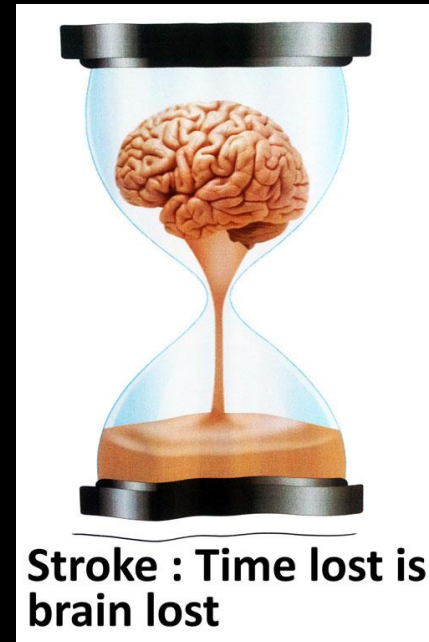
- La riperfusione del tessuto ischemico può avvenire attraverso 3 meccanismi:
- Ricalcanizzazione spontanea
- Trombolisi farmacologica e/o meccanica
- Collaterali leptomeningei

A 15 anni dall'avvento delle prime terapie trombolitiche, numerosi studi e la pratica clinica hanno confermato il beneficio della riperfusione precoce

TIMING LEADS

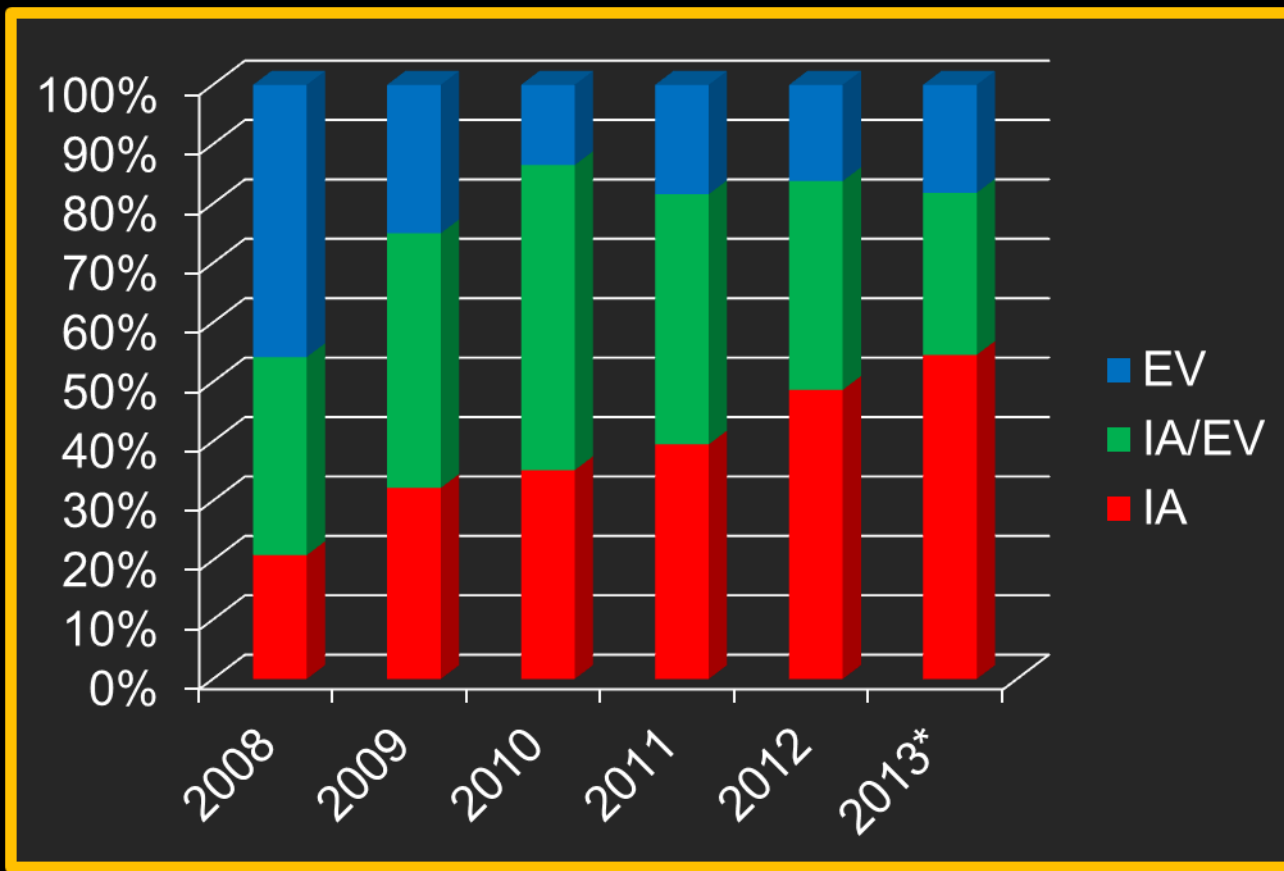
- 4,5 – 6h trombolisi sistemica
- 6 – 8h trombolisi locoregionale
- 12h circolo vertebro-basilare

In each minute, 1.9 million neurons, 14 billion synapses, and 12 km (7.5 miles) of myelinated fibers are destroyed.



TROMBOLISI ASL TERAMO

RADIOLOGIA VASCOLARE INTERVENTISTICA



METODO:

245 pazienti consecutivi stroke iperacuto (età media 42,5 anni, da aprile 2009 a marzo 2016),

on-set inferiore alle 6 ore per il circolo anteriore e 12 per il circolo vertebro-basilare,

sono stati sottoposti a trattamento endovascolare multimodale incluso, tromboaspirazione, trombolisi meccanica o farmacologica intravenosa o intra-arteriosa, o PTA/posizionamento di stent permanente in due differenti centri.

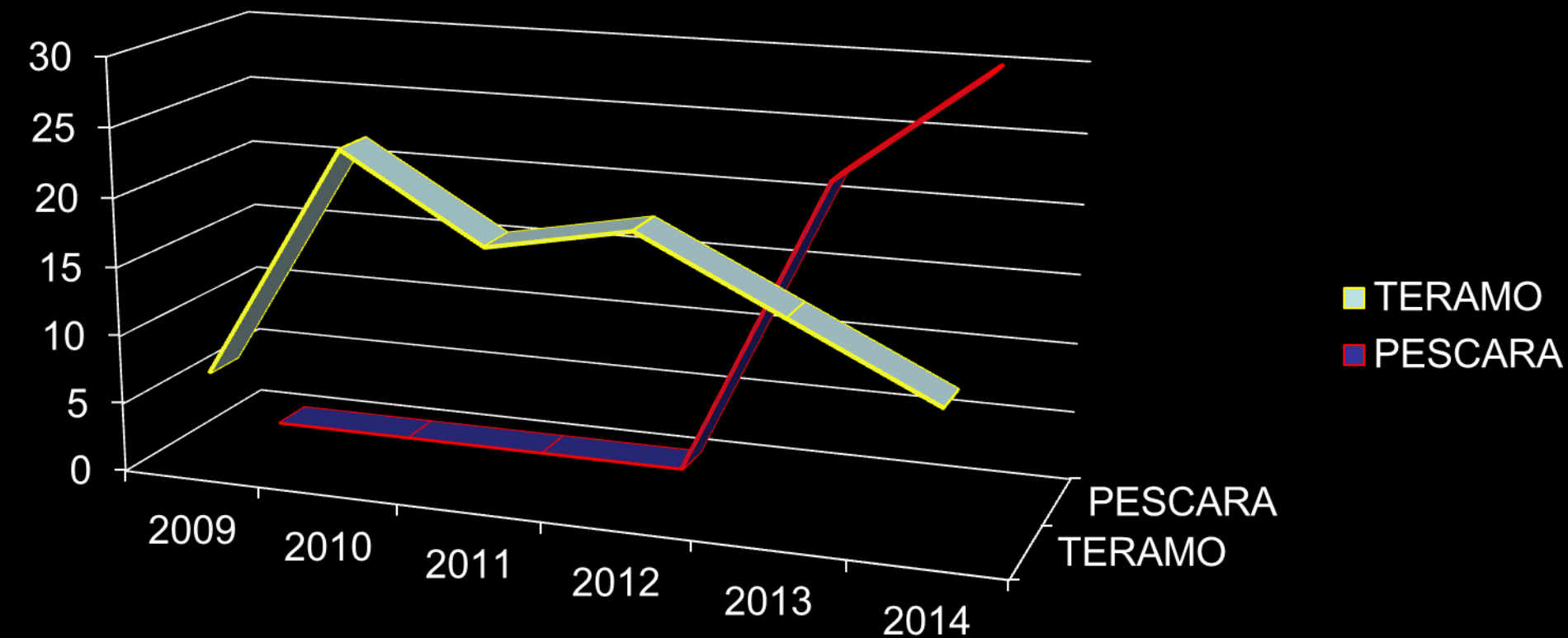
Imaging basato su TC multimodale perfusionale/angio ed Angiografia.

REPORT MULTICENTRICO

- Rivascolarizzazione precoce nelle occlusioni maggiori intracraniche.
- Due centri (245 pts)
- CT, CTA-CTP selected (2458 pts)
- Analisi multivariata
- Studio prospettico
- Preliminare



ANALISI MULTICENTRICA



	2009	2010	2011	2012	2013	2014	2015-16
TERAMO	7	24	18	20	15	10	109
PESCARA	0	0	0	0	22	30	52

Hub-spoke

Centralizzazione sistema reticolare-microreticolare



MATERIALE E METODO

Per la fibrinolisi **farmacologica** abbiamo usato attivatore tissutale del plasminogeno - recombinant tissue plasminogen activator - r-tPA,

Per la trombolisi **meccanica** sono stati utilizzati diversi sistemi di embolectomia meccanica quali stent completamente recuperabili , sistemi di trombo aspirazione o microguide.

Understanding the Challenge

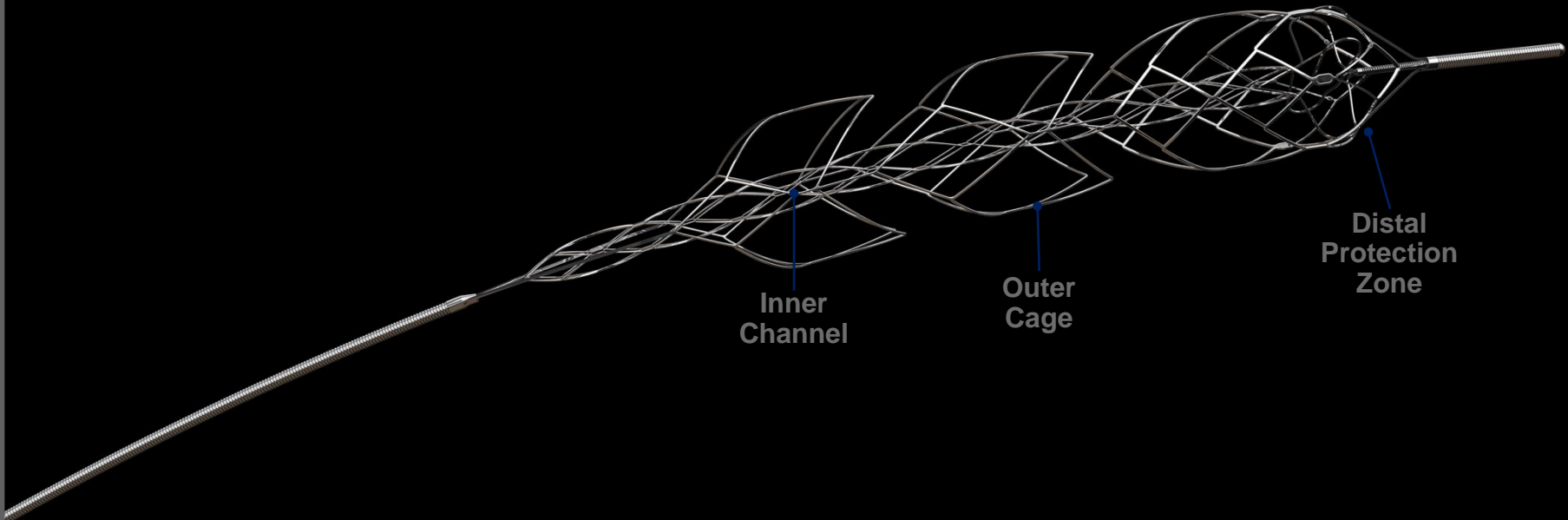


LA RETE DELL'EMERGENZA STROKE:
MODELLO ORGANIZZATIVO A CONFRONTO – NAPOLI
2016



emboTrap®

- Open design to **TRAP** inside
- Rapidly restore **FLOW** with minimal compression
- To **PROTECT** against embolization

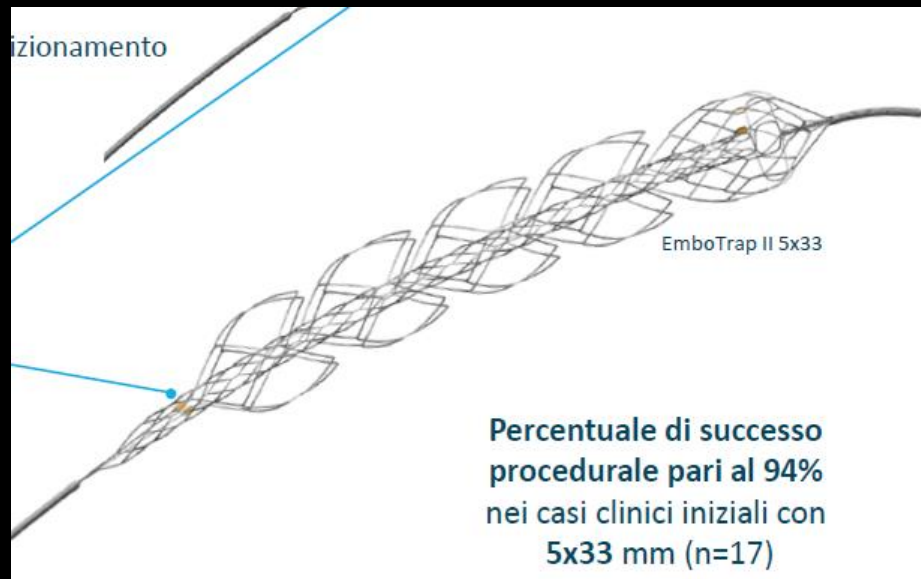


LA RETE DELL'EMERGENZA STROKE:
MODELLI ORGANIZZATIVI A CONFRONTO – NAPOLI
2016

New!!

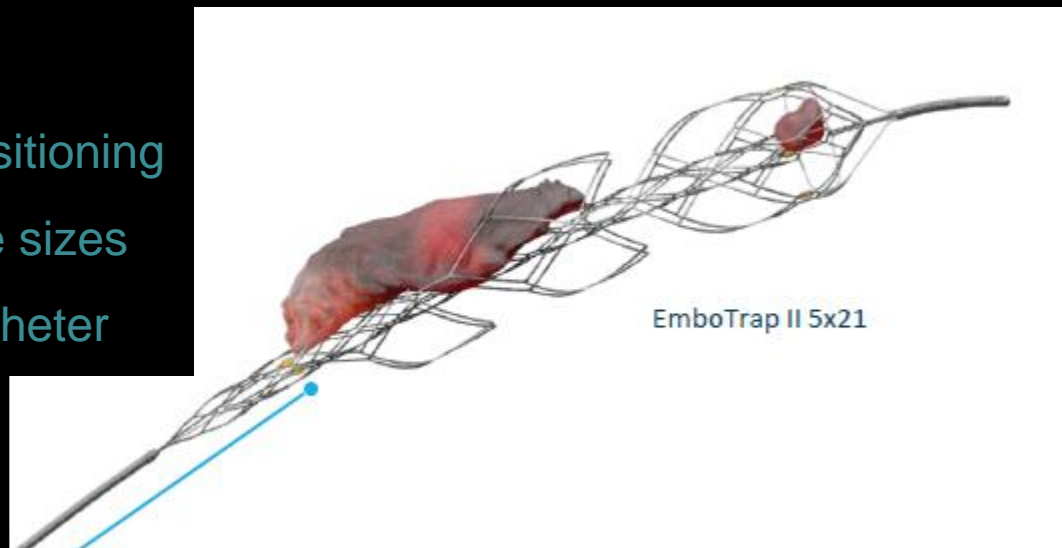
emboTrap® II

designed to
Compress Less, Trap more



Percentuale di successo
procedurale pari al 94%
nei casi clinici iniziali con
5x33 mm (n=17)

- Built on Embotrap platform
- **Enhanced visibility** to aid positioning
- **5x21mm and 5x33mm** device sizes
- Deliverable in **0.021"** microcatheter



Strategie terapeutiche per lo stroke acuto

RIPERFUSIONE (approccio vascolare)

(↑ Flusso ematico)

- ↓ Edema tissutale
- Trombolisi
- Angioplastica
- Endarterectomia
- Emodiluizione

NEUROPROTEZIONE (approccio parenchimale)

(↓ vulnerabilità del tessuto)

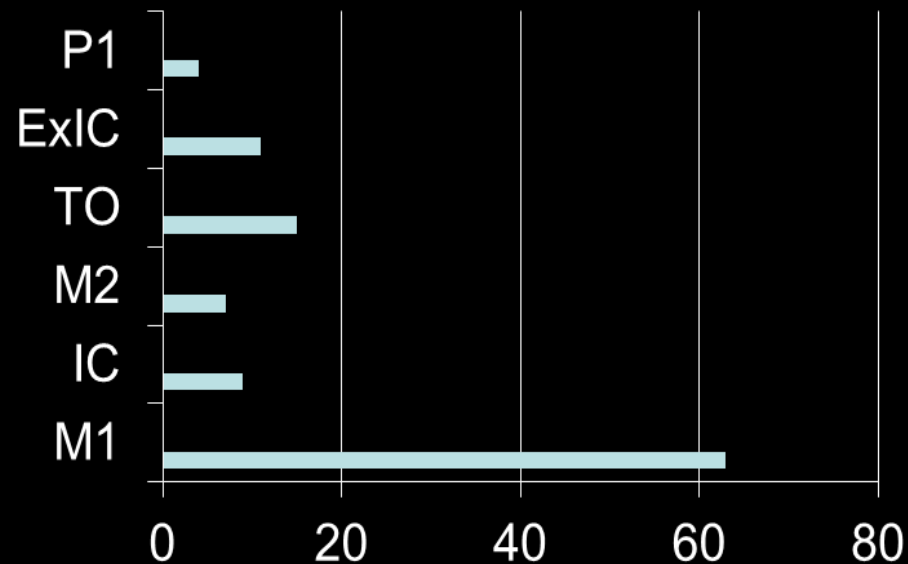
- Eccitotossicità ($[Ca^{2+}]_i$, $[Zn^{2+}]_i$?)
- Radicali liberi
- Infiammazione
- Apoptosi
-

RISULTATI

Il punteggio NIHSS medio alla presentazione è stato di 23 (range 3-36).

Le sedi di occlusione arteriosa sono state:

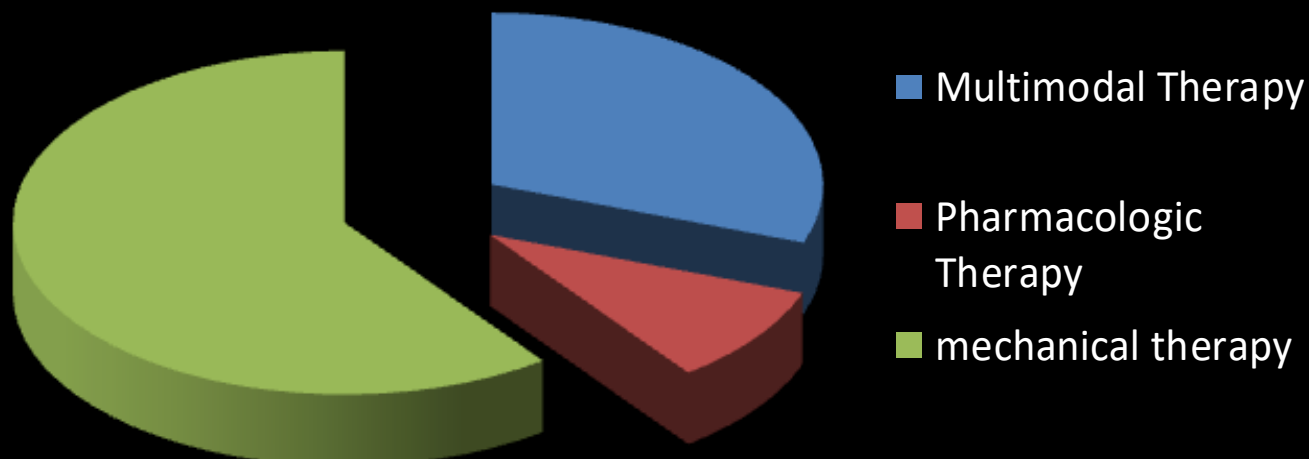
M1 135/245 pazienti (55.10%), sifone carotideo 18/245 (7.34%), M2 - 20/245 (8.16%), tandem occlusion 10/245 (4.08%), occlusioni isolate della carotide interna nel tratto extracranico 15/245 (6.12%), P1 - 12/245 (4,89%), arteria basilare 35/245 (14.28%).



RISULTATI

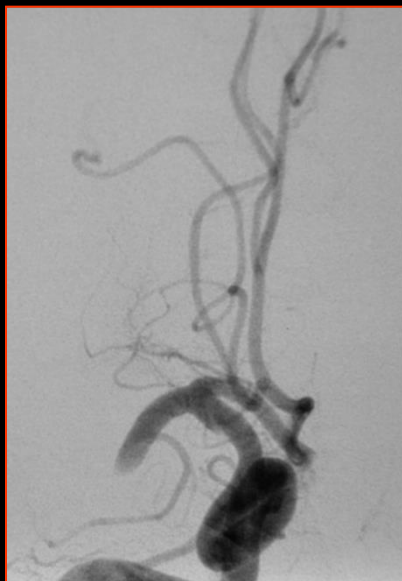
Azioni terapeutiche:

- embolectomia meccanica 234/245 (95.51%) con tromboaspirazione 215/245 (87.75%)
- trombolisi con attivatore tissutale del plasminogeno rtPA 25/245 (10.20%),
- stent permanente 8/245 (3,26%).



RISULTATI

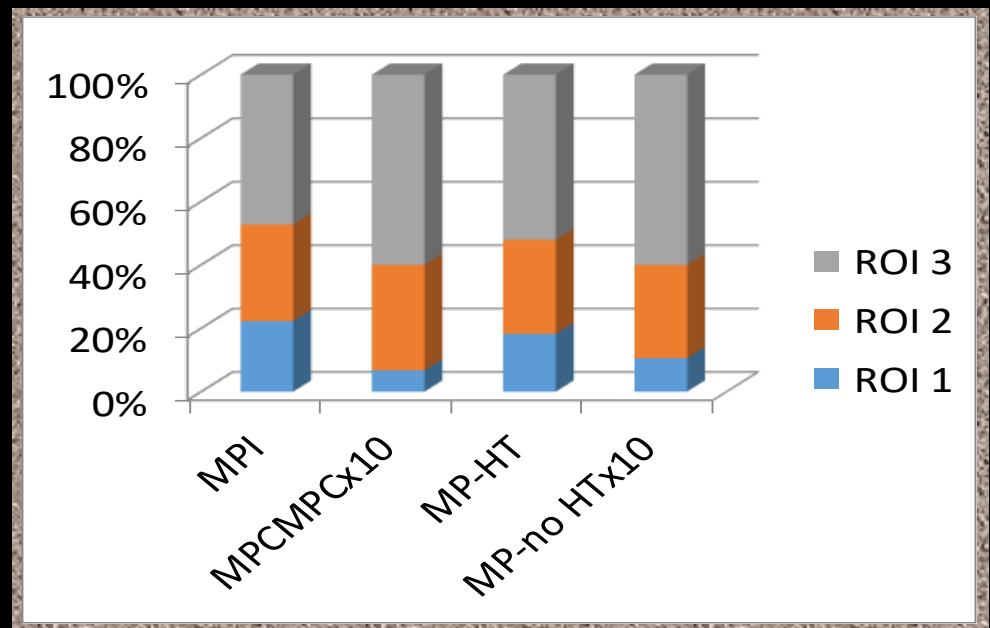
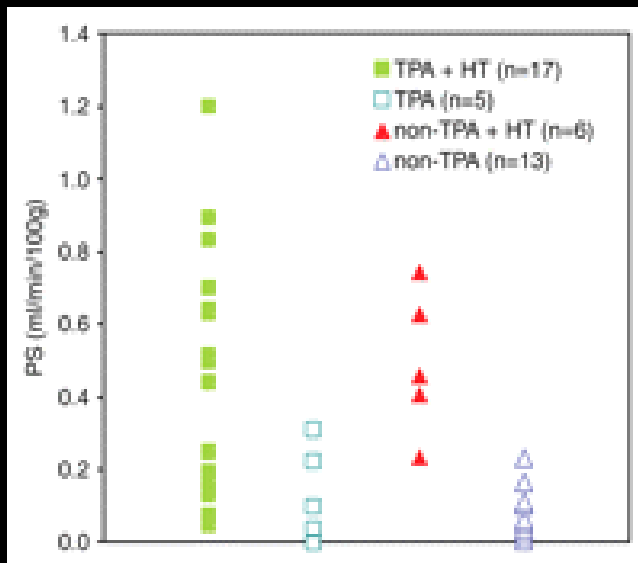
- In 233/245 pazienti si è ottenuta ricanalizzaione efficace TICI IIb/III, con alti tassi di ricanalizzazione nelle embolectomie meccaniche e trombo aspirazione 234/245 (95.51%) vs 12/25 (46.15%) della sola terapia farmacologica sistematica p<0.005.



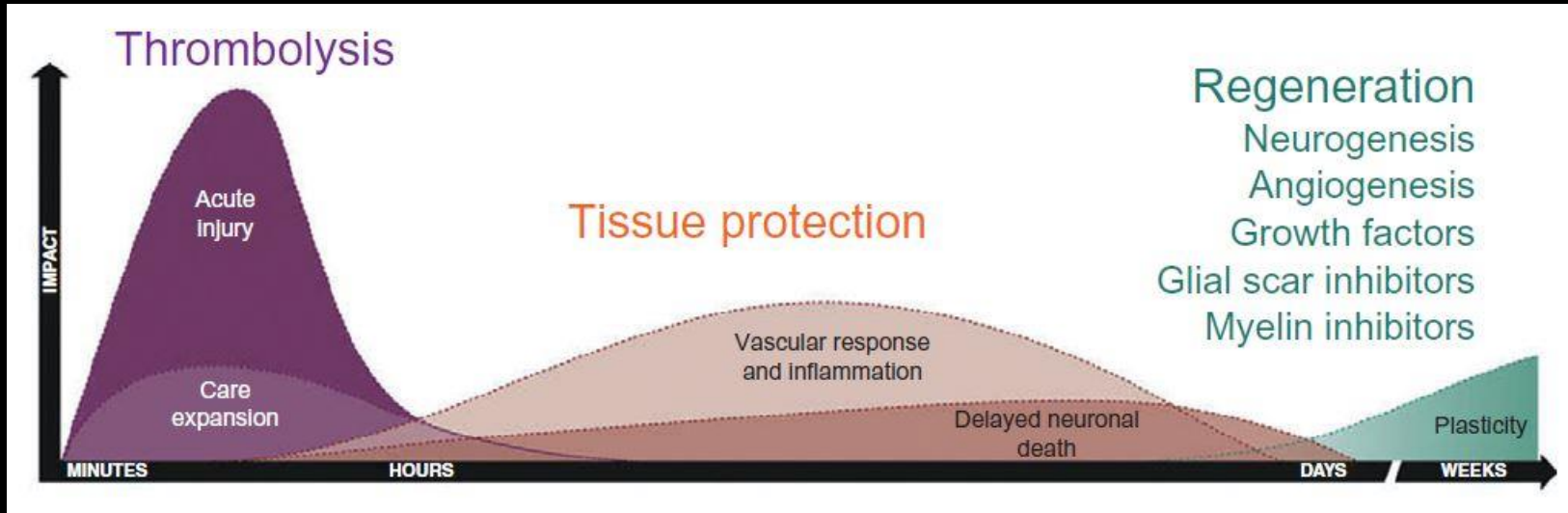
RISULTATI

La trasformazione emorragica a basso volume si è verificata in 6/245 pazienti (2.44%) con spontanea risoluzione in 4 di essi e decesso in 2.

MP-HT ranged from 4.9 to 14 (mean: 8.5+/-2.4) versus MP No-HT of 0-5.7 (mean: 3.8+/-2.0; P<.0001).



Obiettivi



In patients experiencing a typical large vessel acute ischemic stroke, 120 million neurons, 830 billion synapses, and 714 km (447 miles) of myelinated fibers are lost each hour.

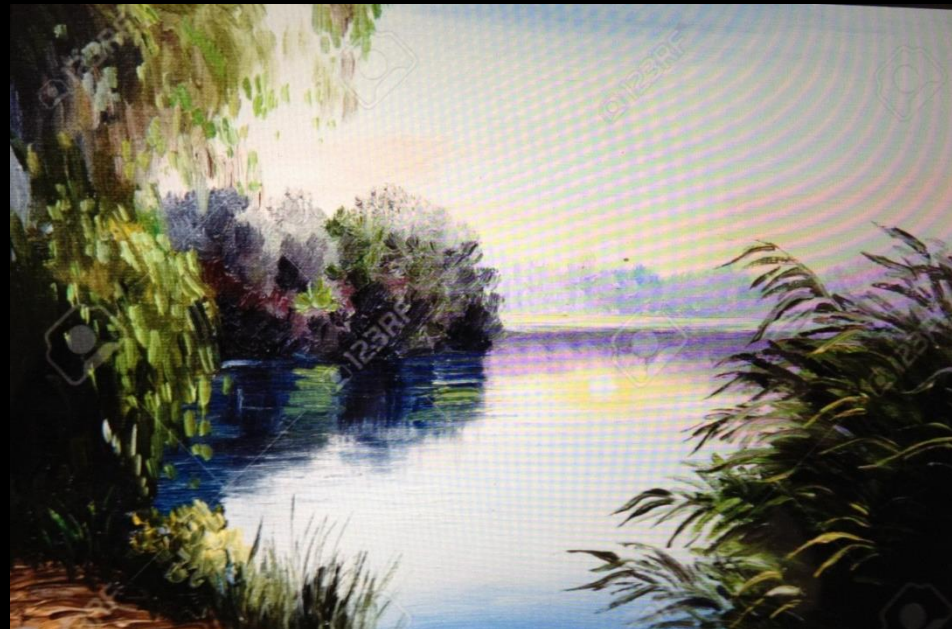
Time Is Brain—Quantified

Jeffrey L. Saver, MD Stroke. 2006; 37: 263-266

From the Stroke Center and Department of Neurology, University of California, Los Angeles
Correspondence to Jeffrey L. Saver, MD, UCLA Stroke Center, 710 Westwood Plaza, Los Angeles, CA 90095. E-mail jsaver@ucla.edu

Obiettivi terapeutici

- Buon outcome funzionale a 6 mesi (mRS 0-2) si è ottenuto 188/245 pazienti (76.73%) mentre la mortalità procedurale è stata del 4.48% (11/245).



COSA FARE?



LO S. MDC

20 May 2010 14:14
140kV

SC

SW

ION

E.S. M 43Y 5h

M/44y
CEFALO S. MDC
im

BU
SW

SW





- **ENDOTHELIAL DENUDATION** 73%
- **EDEMA OF THE TUNICA MEDIA** 52%
- **MURAL THROMBUS** 5%

Arterial wall response (injury) to mechanical thrombectomy devices (Gory B et al 2013)

(C.A.) M, 65 aa

Emiplegia sinistra, deviazione
sguardo verso sinistra, paresi
facciale sinistra

NHISS: 20

TC CRANIO, TC PERFUSIONALE, ANGIOTC VASI
COLLO e INTRACRANICO

Penombra M1 destra con core ischemico

AGF trombolisi meccanica M1 destra

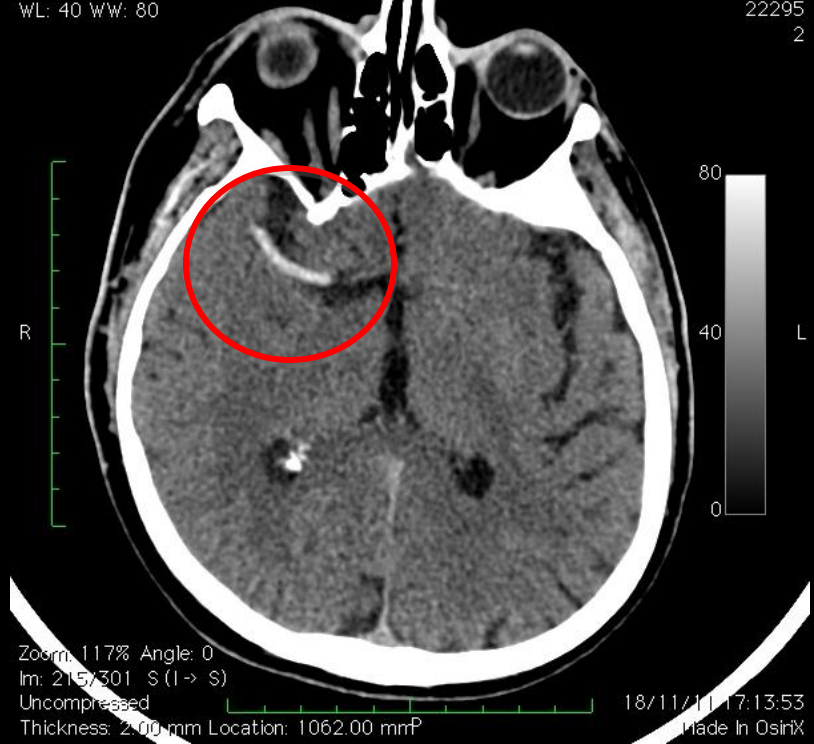
TC CRANIO (controllo dopo procedura) focolaio
emorragico

TC CRANIO (24 h)

RM CRANIO, DIFFUSIONE E PERFUSIONE (10 gg)

Image size: 512x 512 x 512
View size: 601 x 601
WL: 40 WW: 80

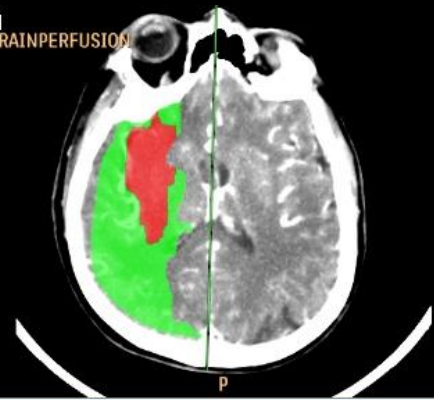
CRANIOVASC. ANTICOAG. 10222 L.S. ATTRA 80 g
ICUS CEREBR. (Stroke)-EMERGENZE - CRANIO
22295
2



153229 P.0 ATRI 14 KVP
0.8 PERFUSIONE ENCEF BRAINPERFUSION
W 1277 W.W. 255
1073,2 mm

C

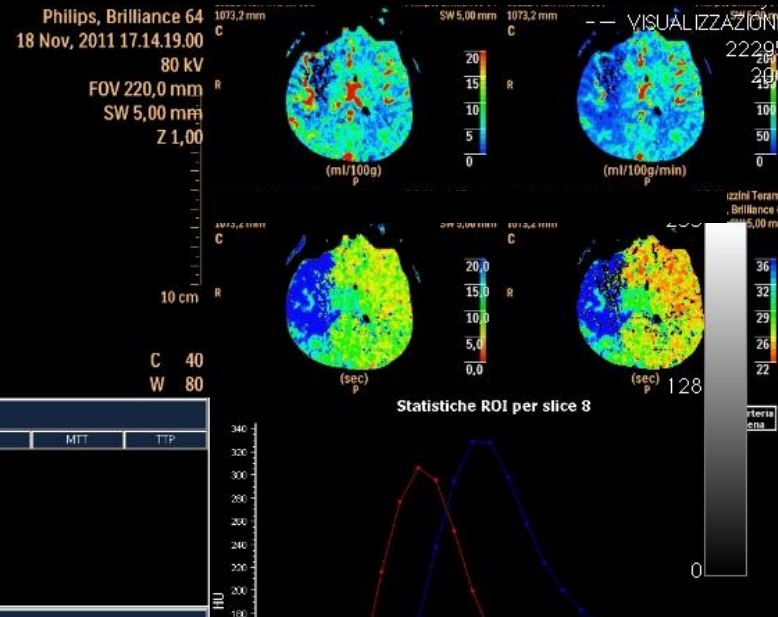
R



Philips, Brilliance 64
18 Nov, 2011 17.14.19.00
80 kV
FOV 220,0 mm
SW 5,00 mm
Z 1,00
10 cm
C 40
W 80

Statistiche ROI per slice 8

N° ROI	CBV (ml/100 g)	CBF (ml/100 g/min)	MTT	ITP
1	935,3	7,9	119,9	0,69
2	1123,9	9,1	0,0	1,00
3	2150,6	17,2	0,0	1,00
Zoom: 63% Angle: 0	900,1	22,9	3,0	1,00
Im: 1/4	3212,6	23,4	223,0	0,93
Uncompressed	3265,0	22,6	479,6	0,67
Position:HFS	3366,2	22,0	614,5	0,65
	3195,6	21,0	1137,9	0,73
	20153,7	16,9	2636,5	0,60



ANGIOTAC

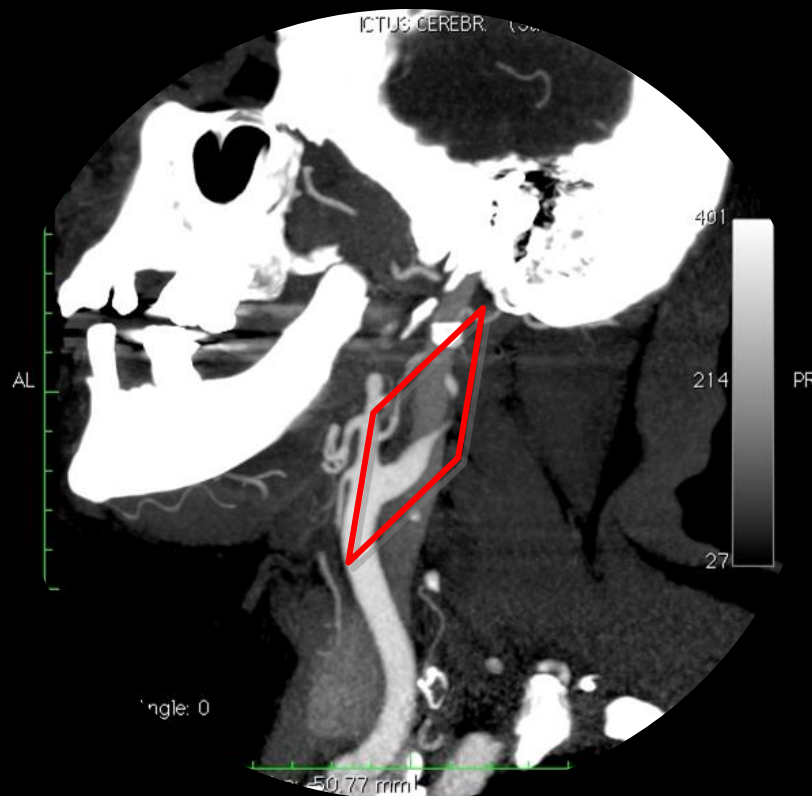


TC PERFUSIONALE

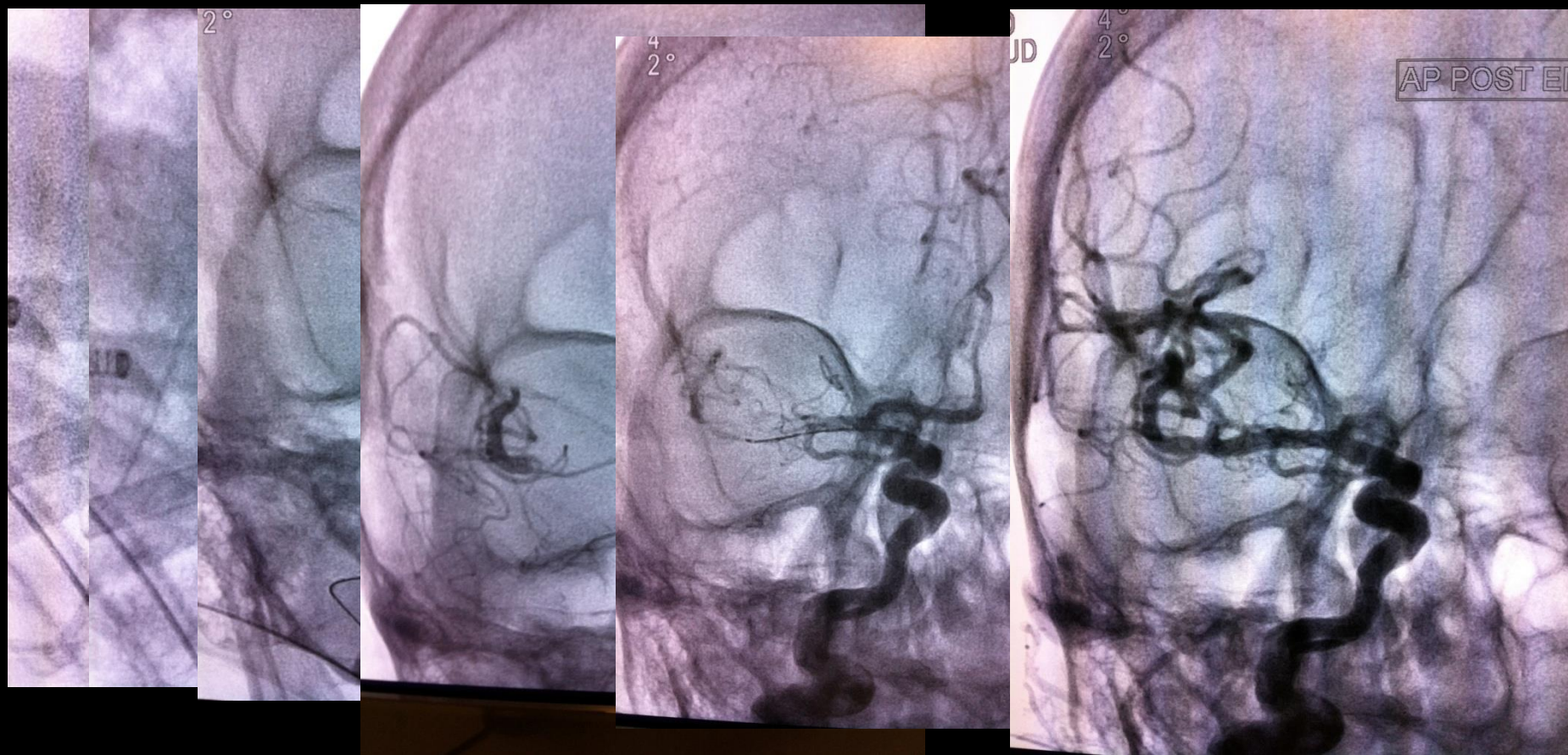
VERDE: PENOMBRA

ROSSO: CORE ISCHEMICO

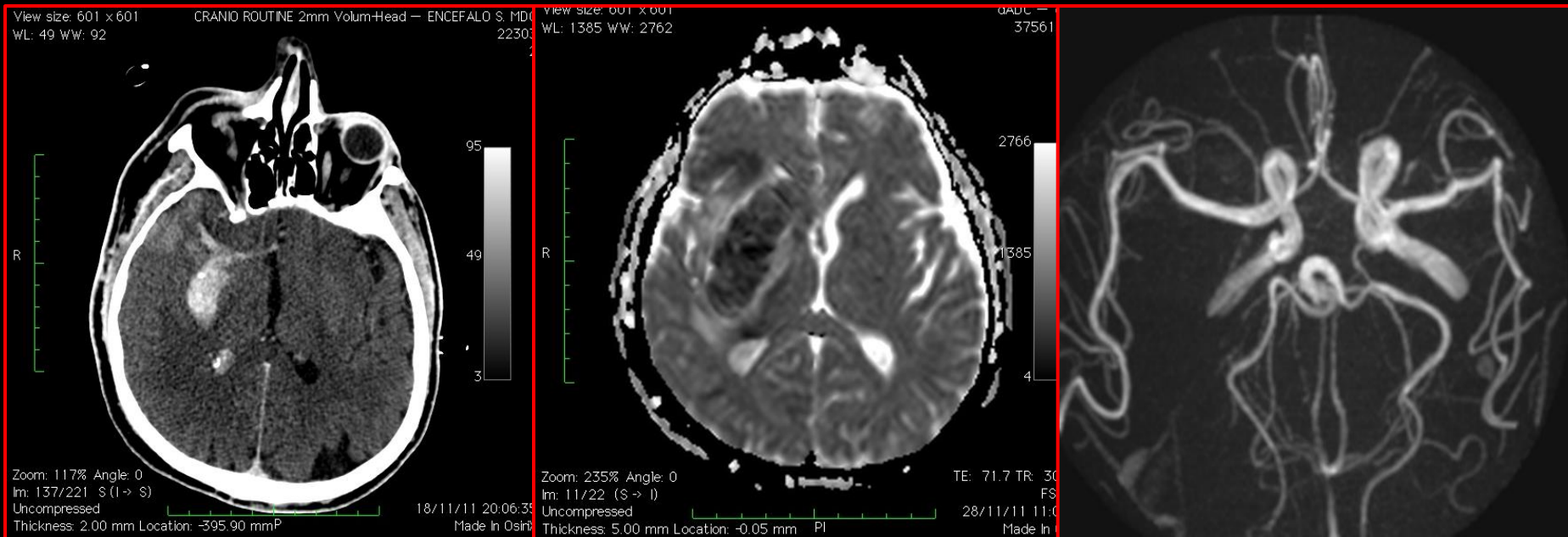
OCCLUSIONE CAROTIDE INTERNA E TROMBOSI SIFONE CAROTIDEO



OCCLUSIONE CAROTIDE INTERNA E TROMBOSI SIFONE CAROTIDEO - PROCEDURA



OCCLUSIONE CAROTIDE INTERNA E TROMBOSI SIFONE CAROTIDEO - CONTROLLO

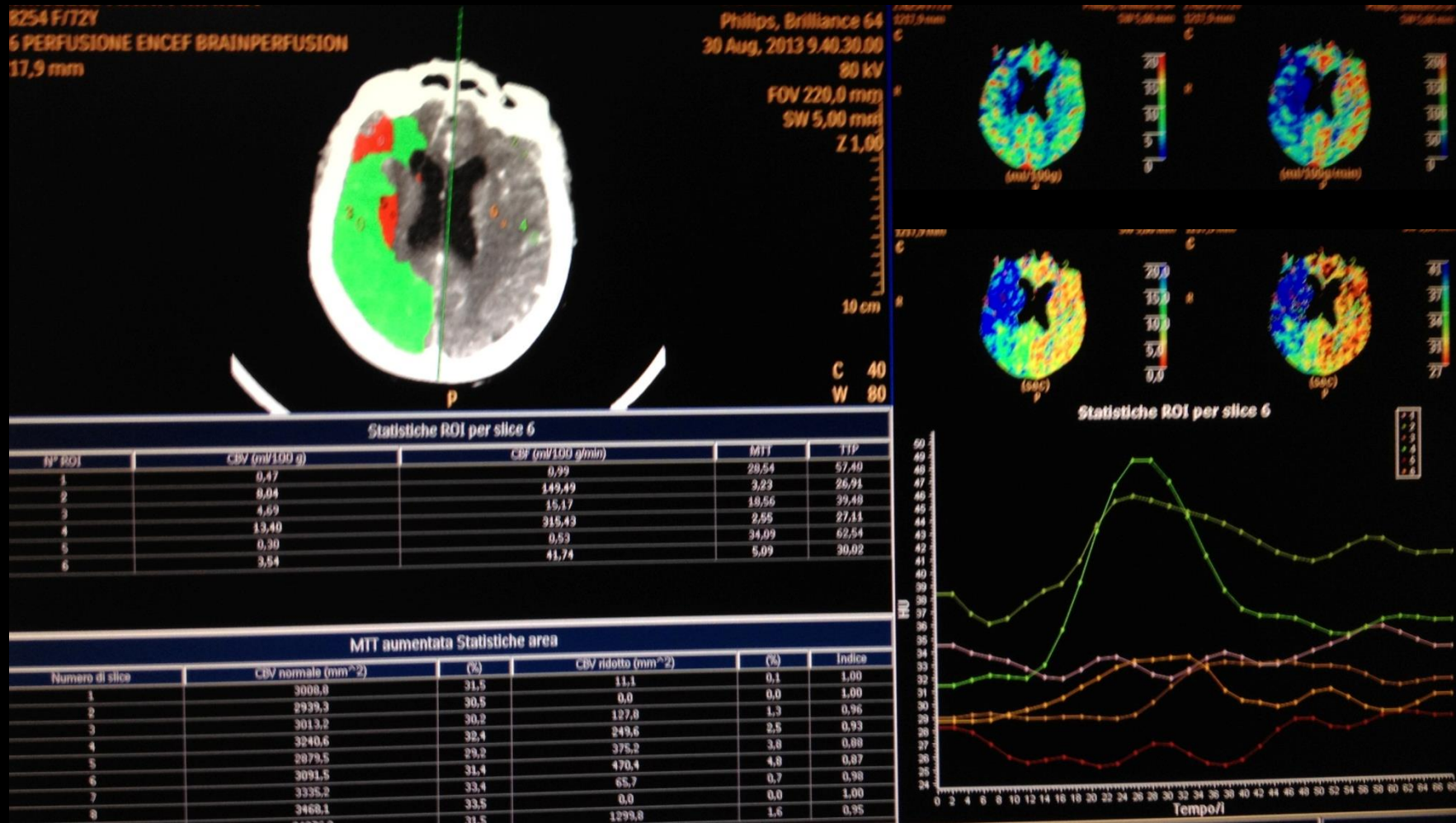


TAC

RM- DIFFUSIONE

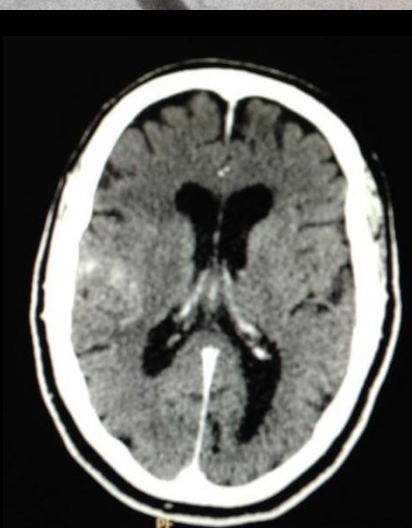
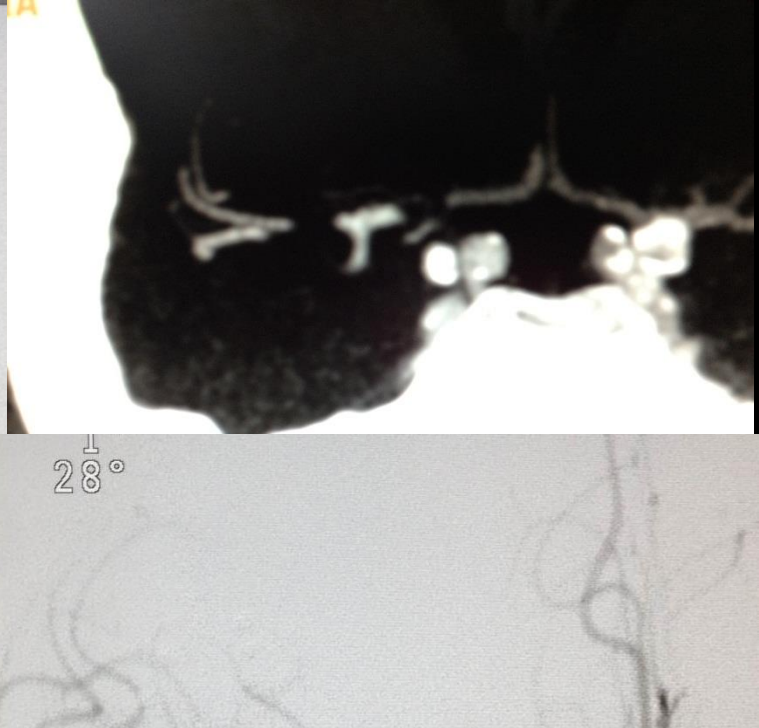
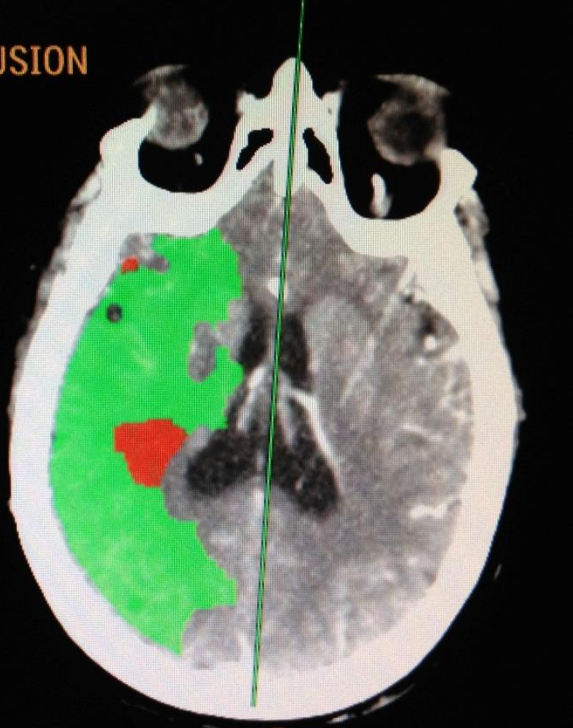
ANGIORM

A.A. F 73Y 5h 30min



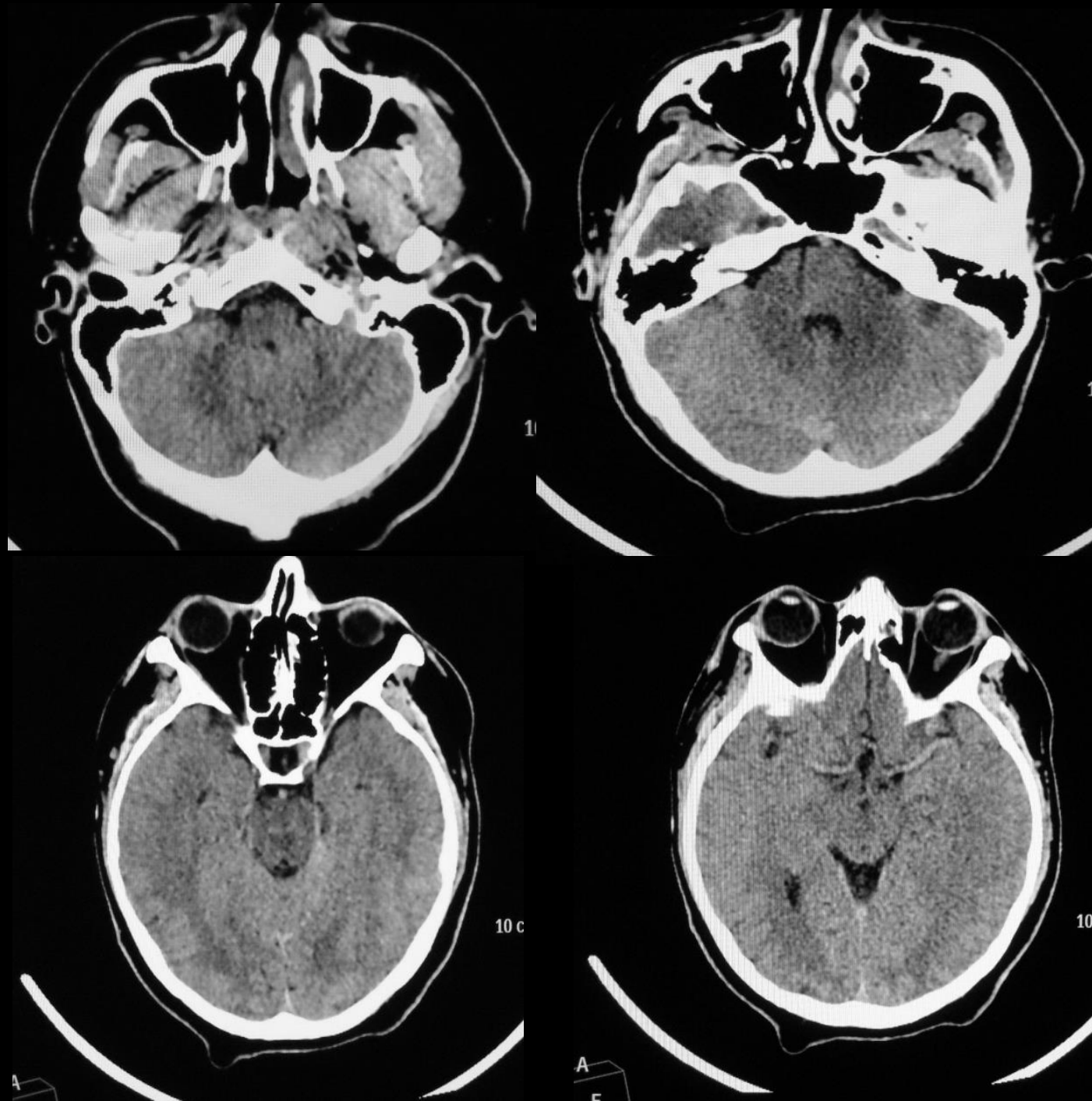
NIHSS 15

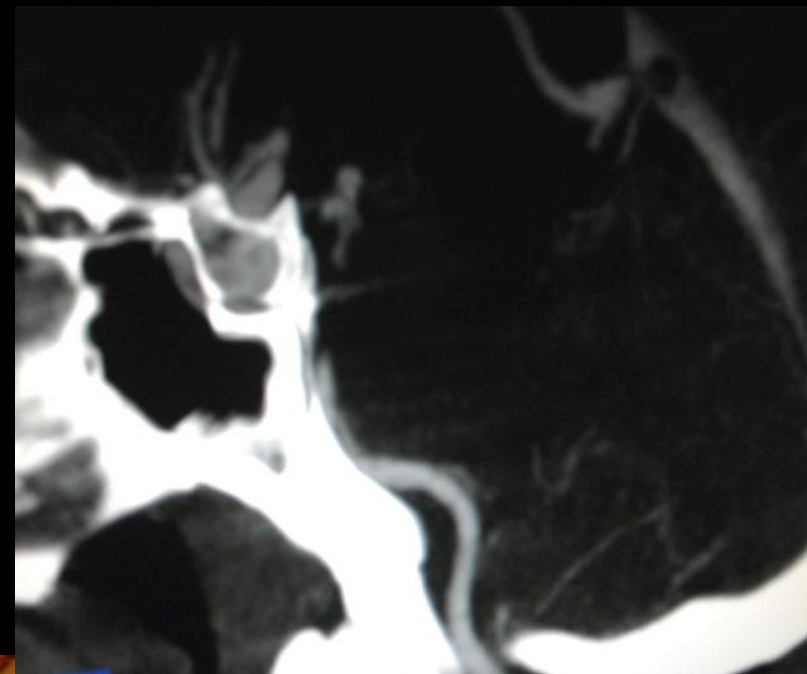
RFUSION



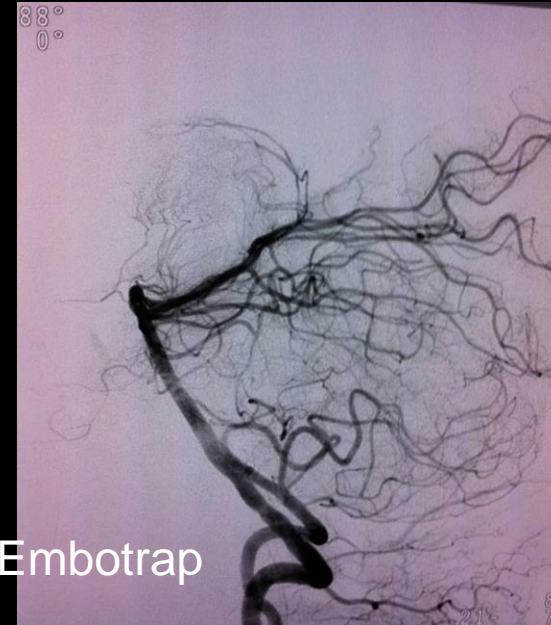
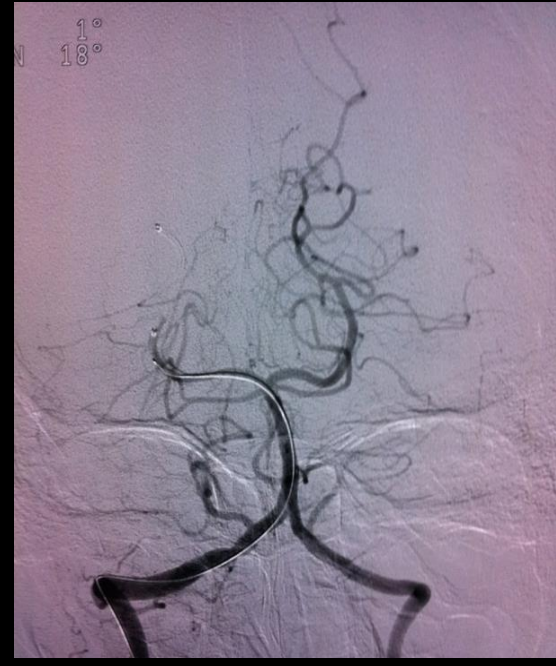
1 passaggio Embotrap

C.A. M 19 Y
Onset 4,5h
Ataxia
Vertigo
NIHSS 18





21:00 intra arterial Embolectomy + Actilyse



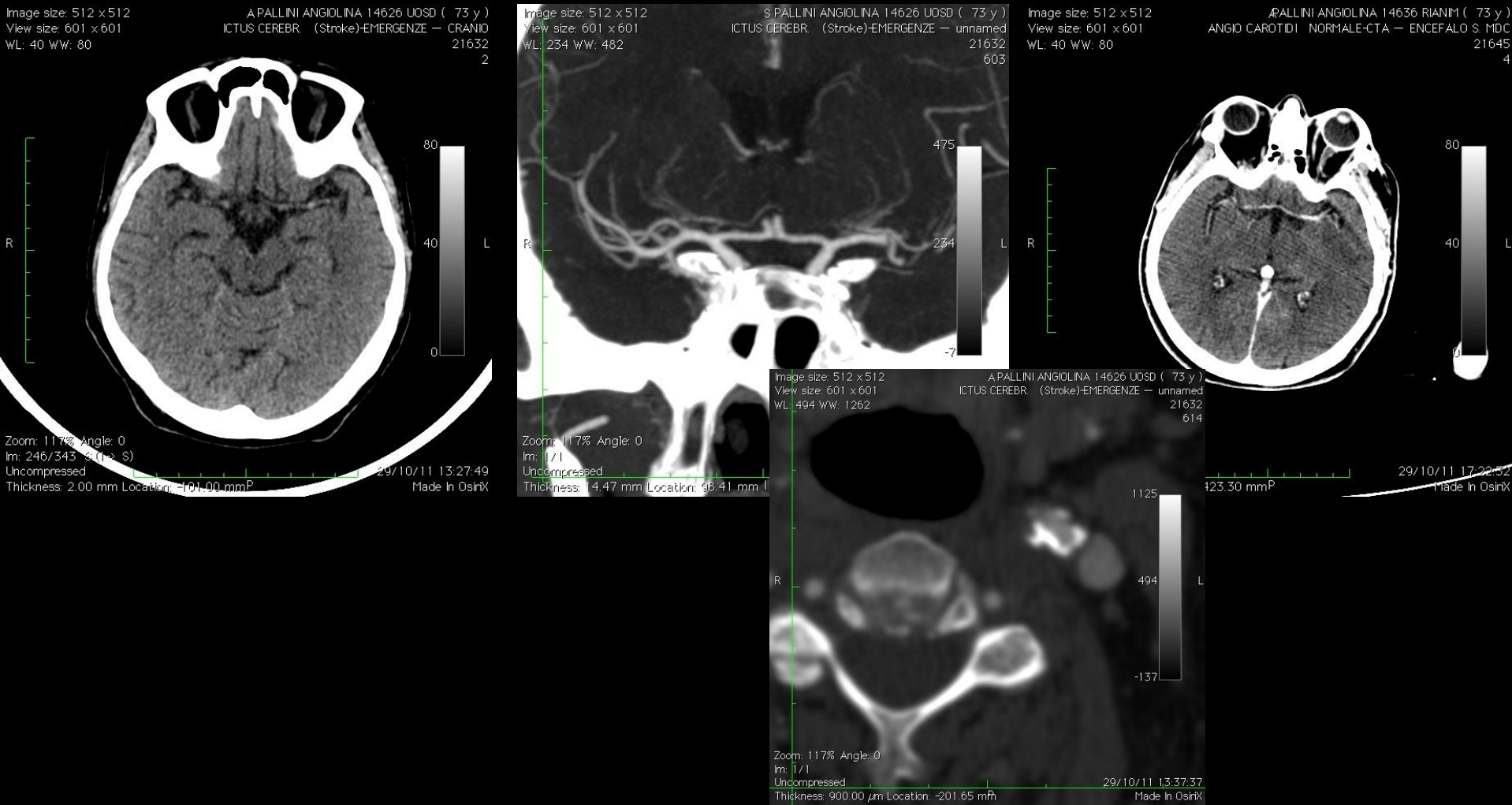
SW 2,02 ml
Z 1,0

1

10 cm

10 cm

(P.A.) F, 77 aa
4h onset, Right hemiplegia, afasia,
Diabetic, NIHSS 21



e: 512 x 512
601 x 601
W: 80

PALLINI ANGOLINA 16643-RANIMA 512 x 512
CRANIC ROUTINE 2mm Volum-Head — EN601 x 601
v. 260

PALLINI ANGOLINA 16643-RANIMA
2 x 512 x 601
284

PALLINI ANGOLINA 16643-RANIMA size: 512 x 512
ICTUS CEREBR. (Stroke)-EMERGENZE: 601 x 601
3 WW: 387

PALLINI ANGOLINA 16643-RANIMA
ICTUS CEREBR. (Stroke)-EMERGENZE
30/1

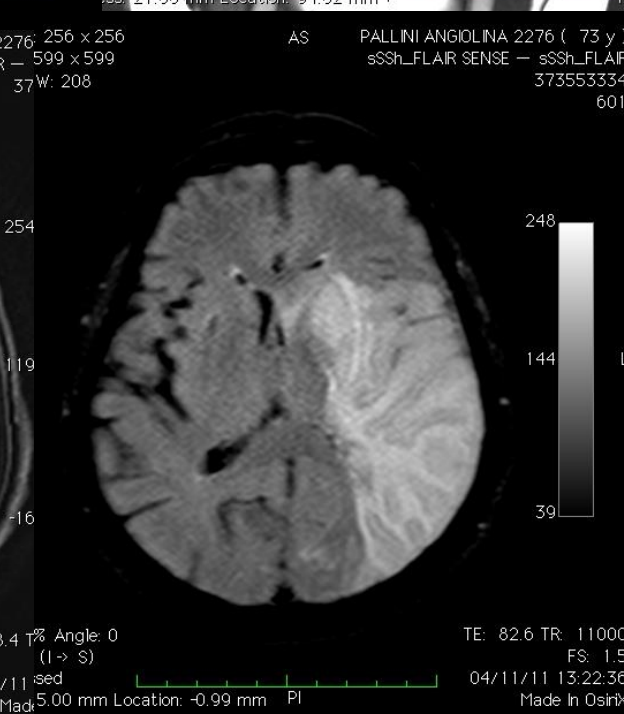
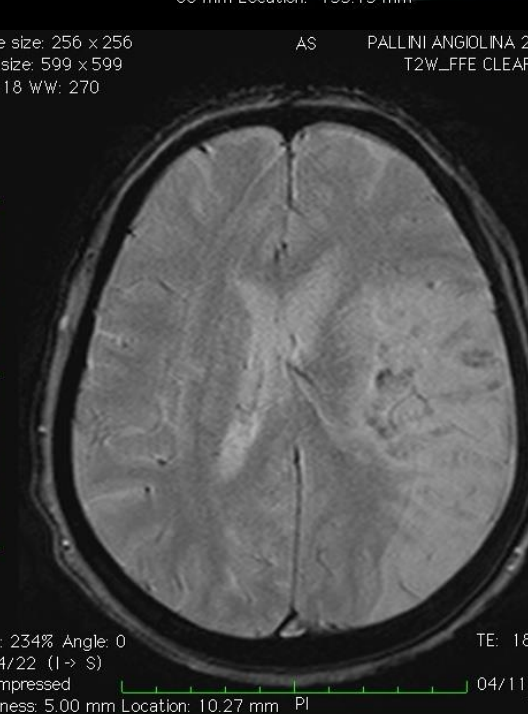
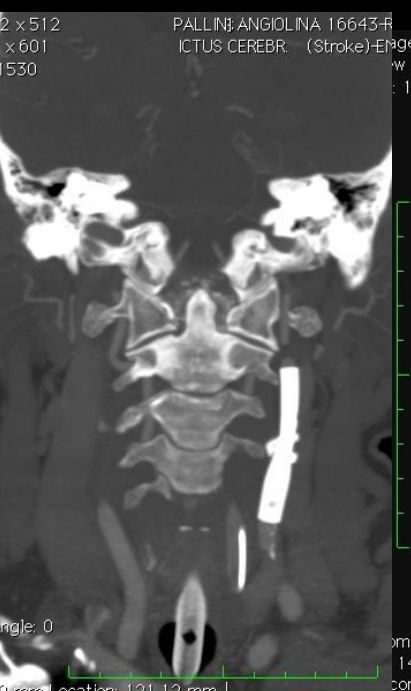
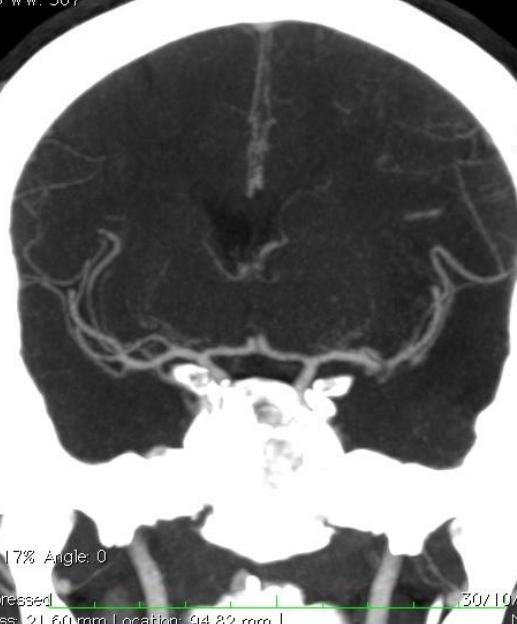


Image size: 512 × 512
View size: 601 × 601
WL: 40 WW: 80

PALLINI ANGIOLINA 15379 -NEUROL (Image size: 512 × 512
CRANIO ROUTINE 2mm Volum Head — ENCEFALO S View size: 601 × 601
WL: 40 WW: 80

PALLINI ANGIOLINA 15379 -NEU Image size: 512 × 512
CRANIO ROUTINE 2mm Volum Head — ENCE View size: 601 × 601
WL: 40 WW: 80

PALLINI ANGIOLINA 15379 -NEUROL (73 y)
CRANIO ROUTINE 2mm Volum Head — ENCEFALO S. MDC
22467
2

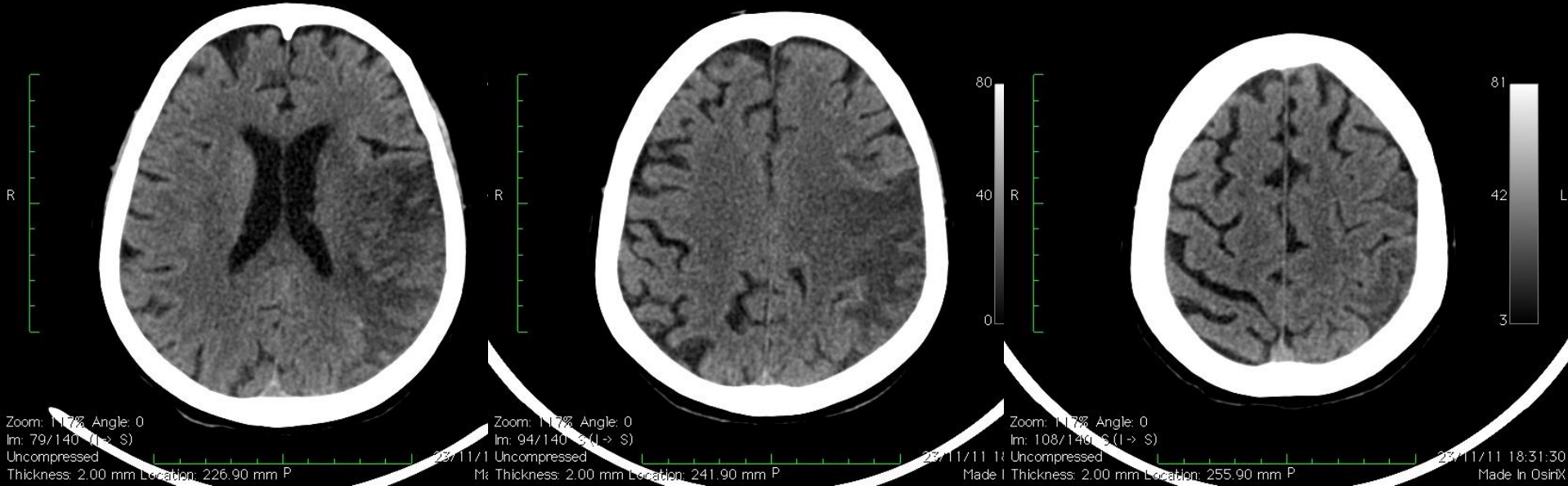


Image size: 512 × 512
View size: 601 × 601
WL: 40 WW: 80

PALLINI ANGIOLINA 15379 -NEUROL Image size: 512 × 512
CRANIO ROUTINE 2mm Volum Head — ENCEF, View size: 601 × 601
WL: 40 WW: 80

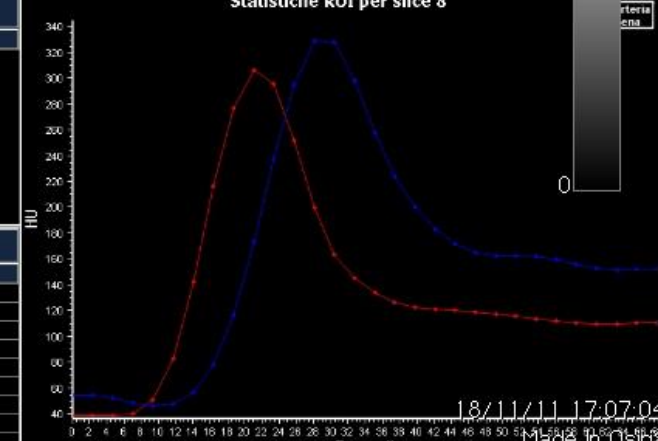
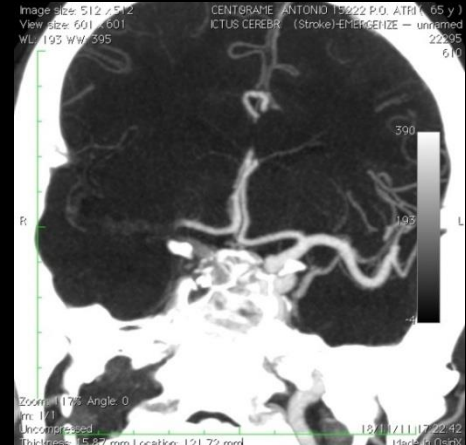
PALLINI ANGIOLINA 15379 -NEUROL (Image size: 512 × 512
CRANIO ROUTINE 2mm Volum Head — ENCEFALO View size: 601 × 601
WL: 42 WW: 78

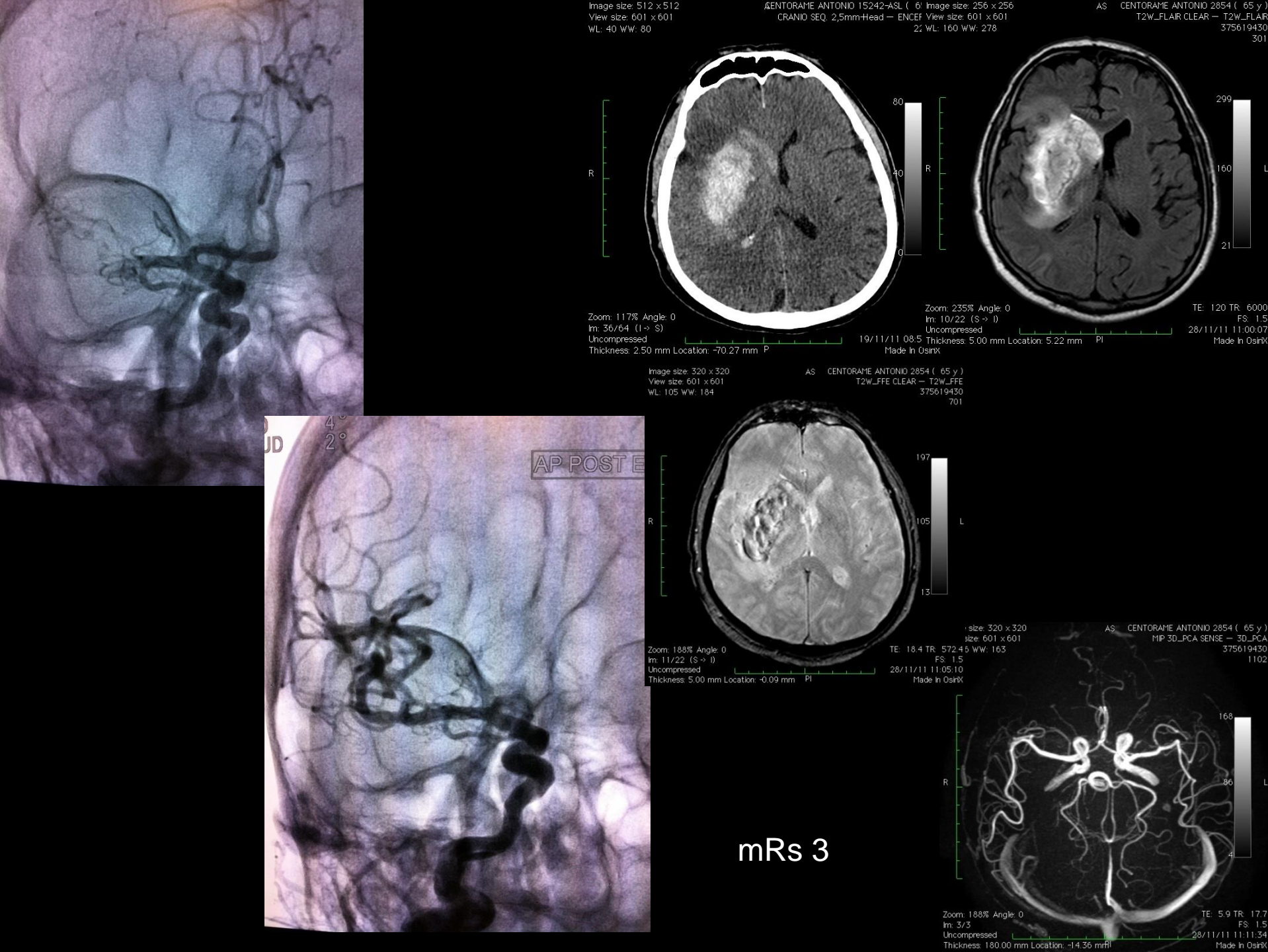
PALLINI ANGIOLINA 15379 -NEUROL (73 y)
CRANIO ROUTINE 2mm Volum Head — ENCEFALO S. MDC
22467
2





(C.A.) M, 65 y, onset 3h, Left Hemiplegia, visual loss and left deviation of ocular globes, NIHSS 25





30/10/1946

Esami :

Ricostruzioni tridimensionali TC (*) 30786

ANGIO TC ESOCRANICO

ANGIO TC INTRACRANICO

TC CEREBRALE (senza e con contrasto)

P.O. TERAMO Rianimazione

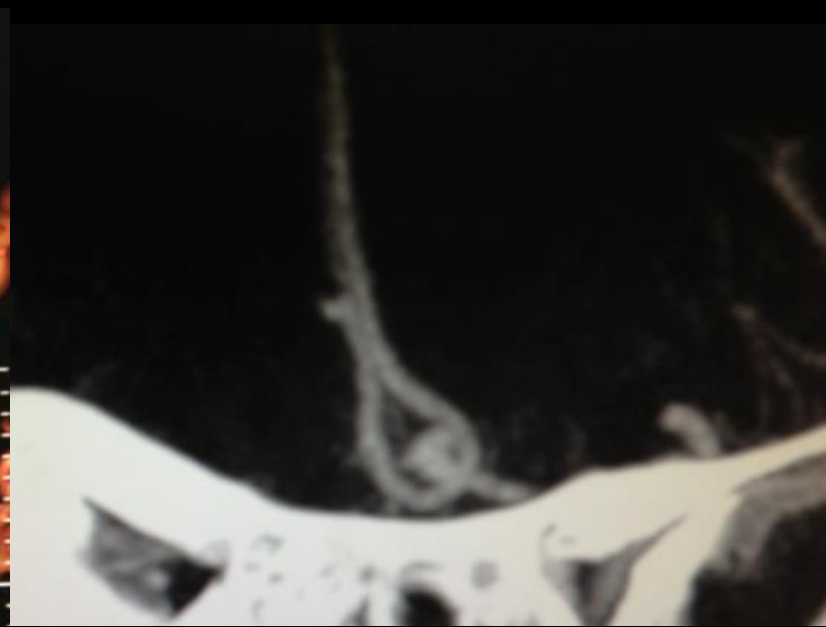
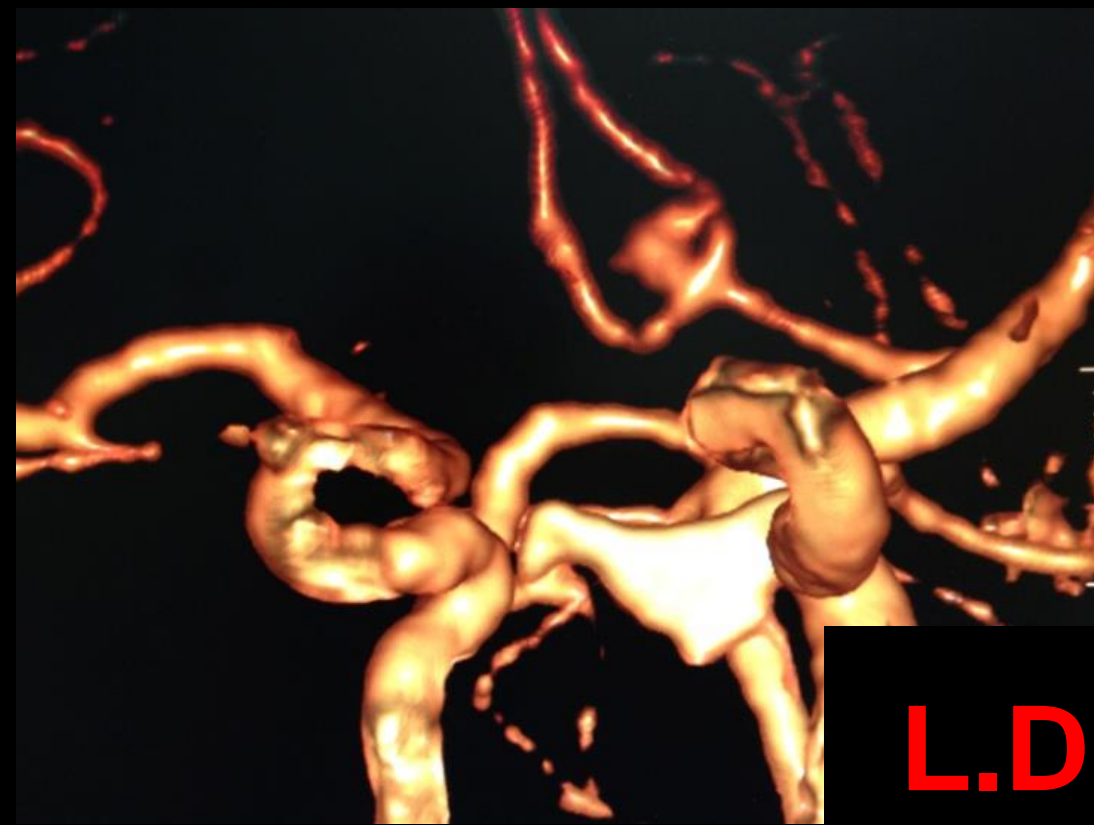
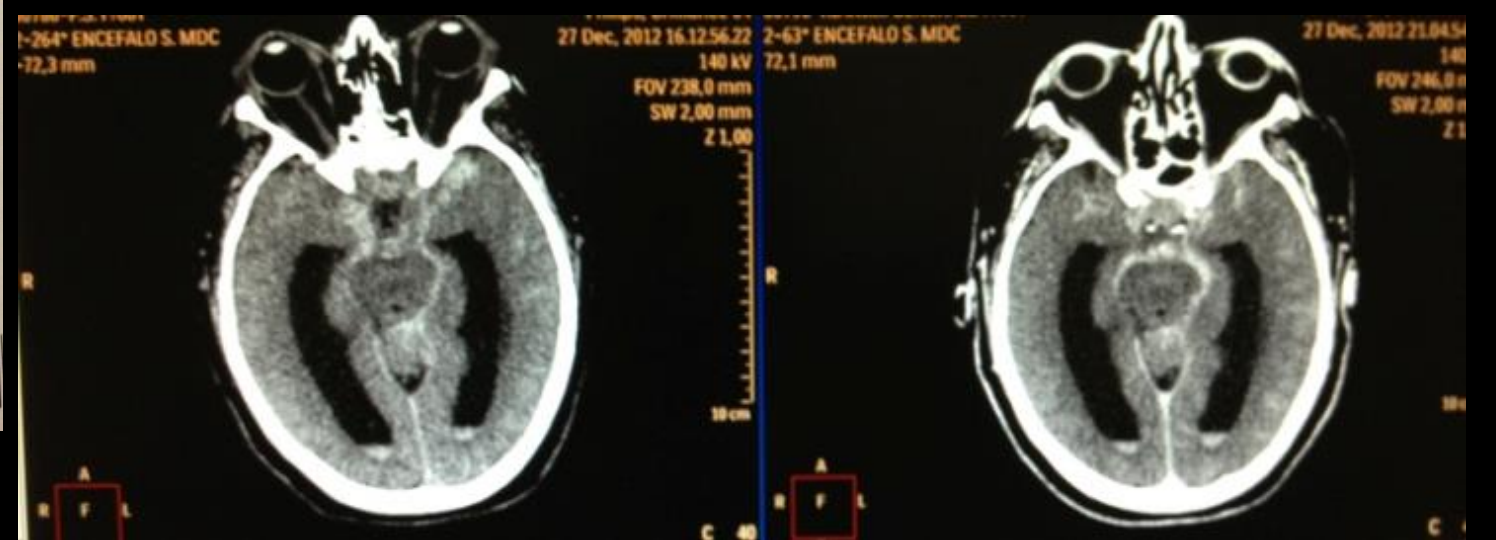
Numero Rich: 121070955

Del 27/12/2012

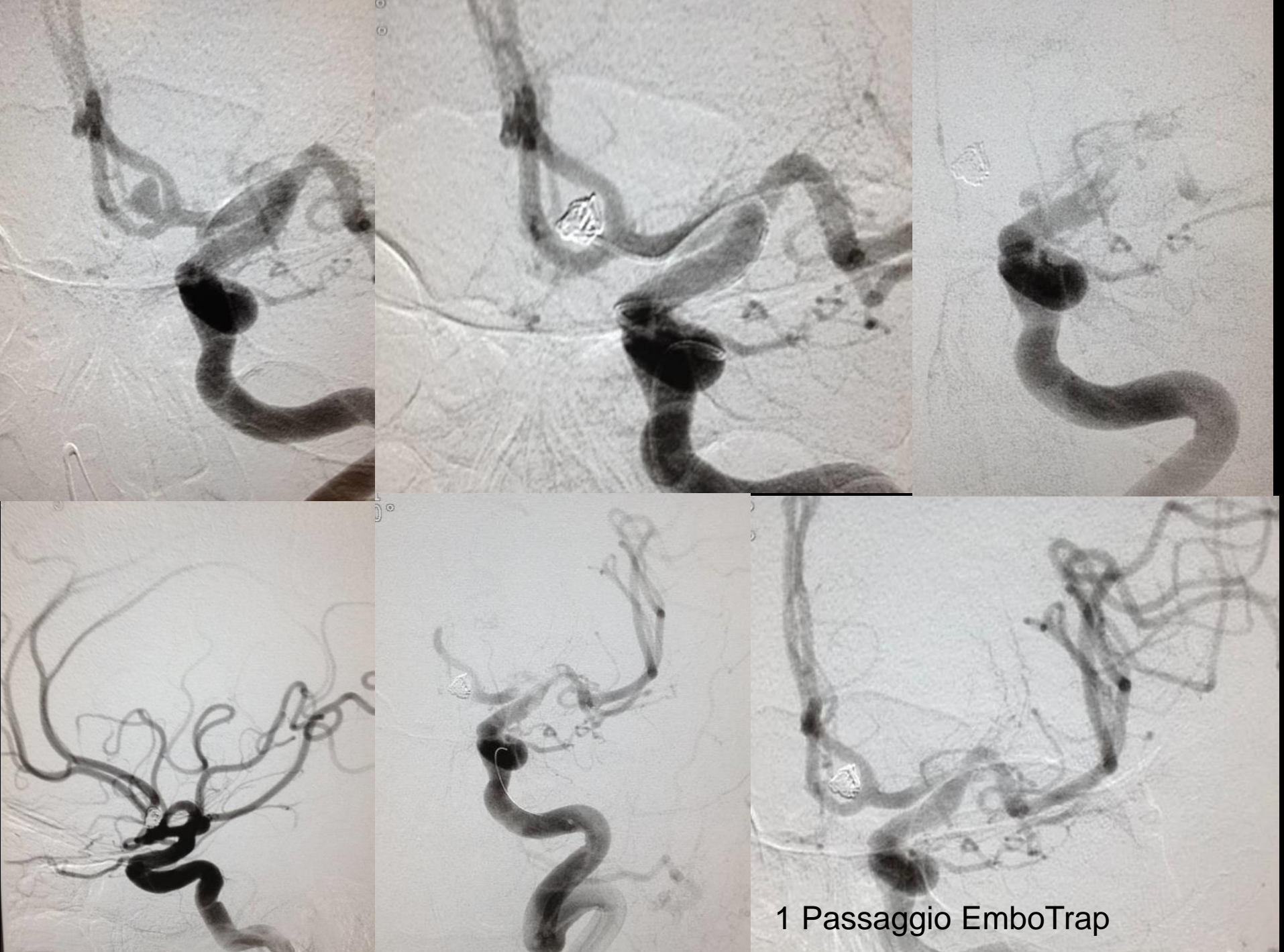
URGENTE



121070955



L.D.D M 67Y ESA



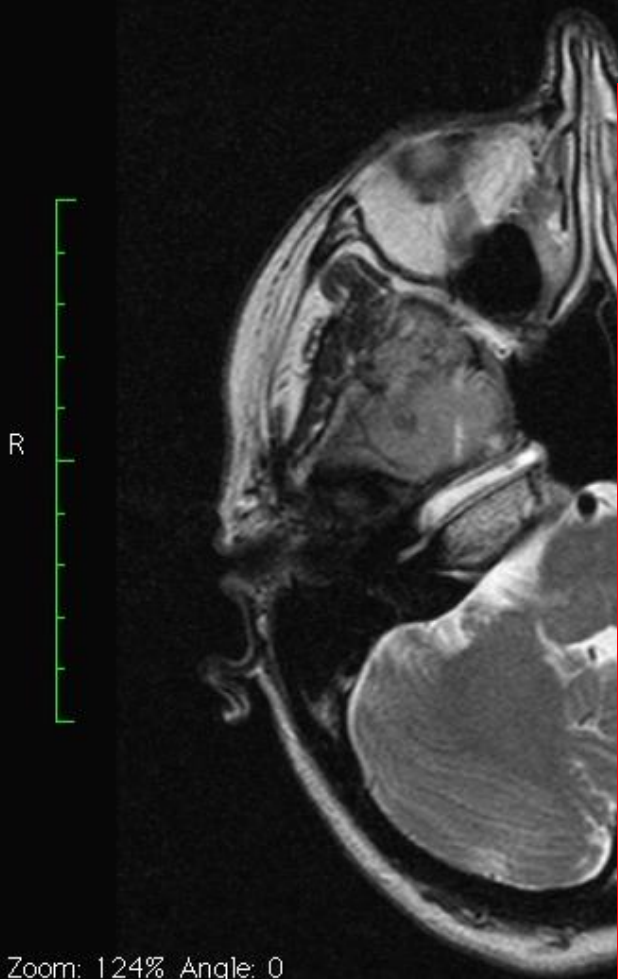
1 Passaggio EmboTrap

**B. A. DONNA 41 ANNI
EMIPLLEGIA F.B.C. SN
DEV. SGUARDO yp
TC NEG. IN ALTRA SEDE
SOSPETTO INF. ACM DX**

View size: 635 x 635

WL: 917 WW: 1936

40 y , 40 y
T2W/TSE
26285511
401



Zoom: 124% Angle: 0

Im: 4/22 1(I > S)

Thickness: 3.00 mm Location: 7.29 mm PI

View size: 635 x 635

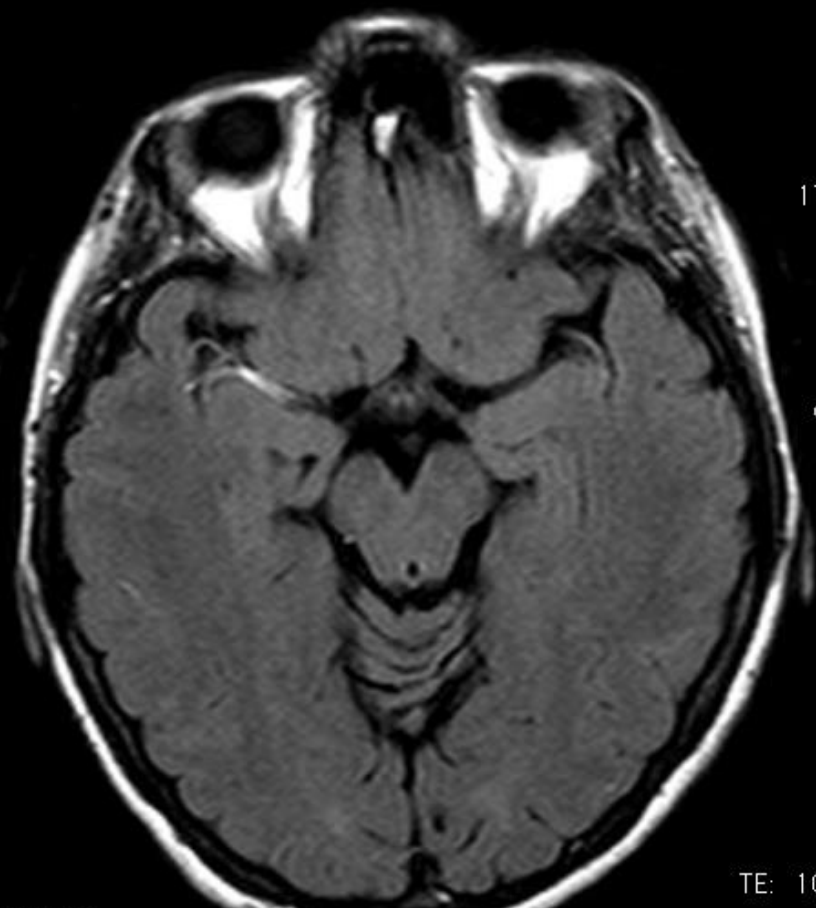
WL: 955 WW: 1685

40 y , 40 y

FLAIR-TRA

26285511

301



Zoom: 248% Angle: 0

Im: 9/22 1(I > S)

Thickness: 5.00 mm Location: 20.61 mm PI

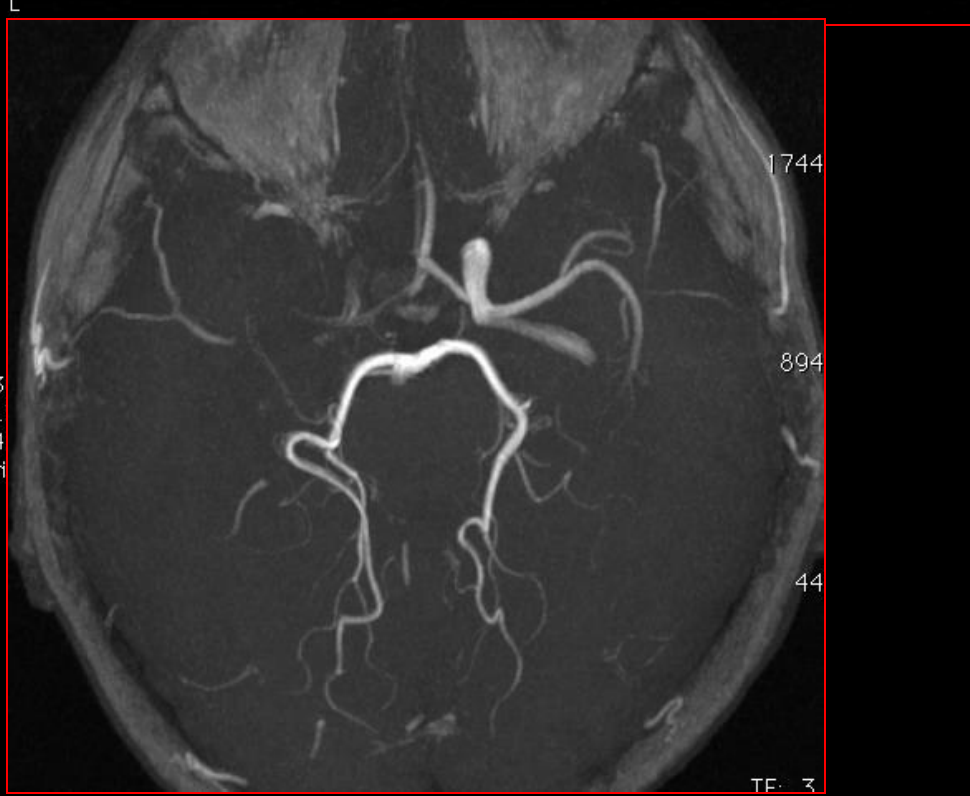
TE: 100 TR: 6000

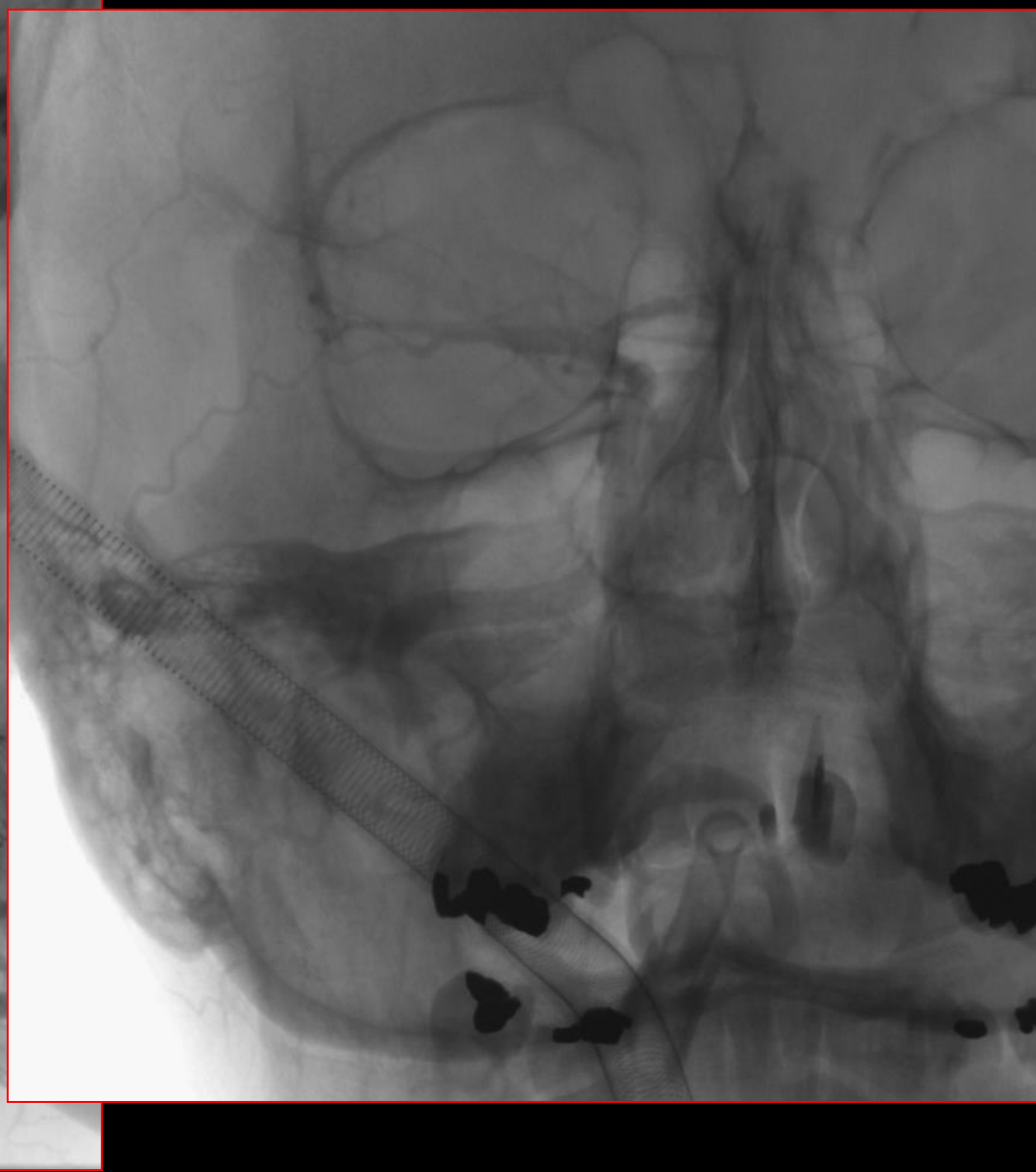
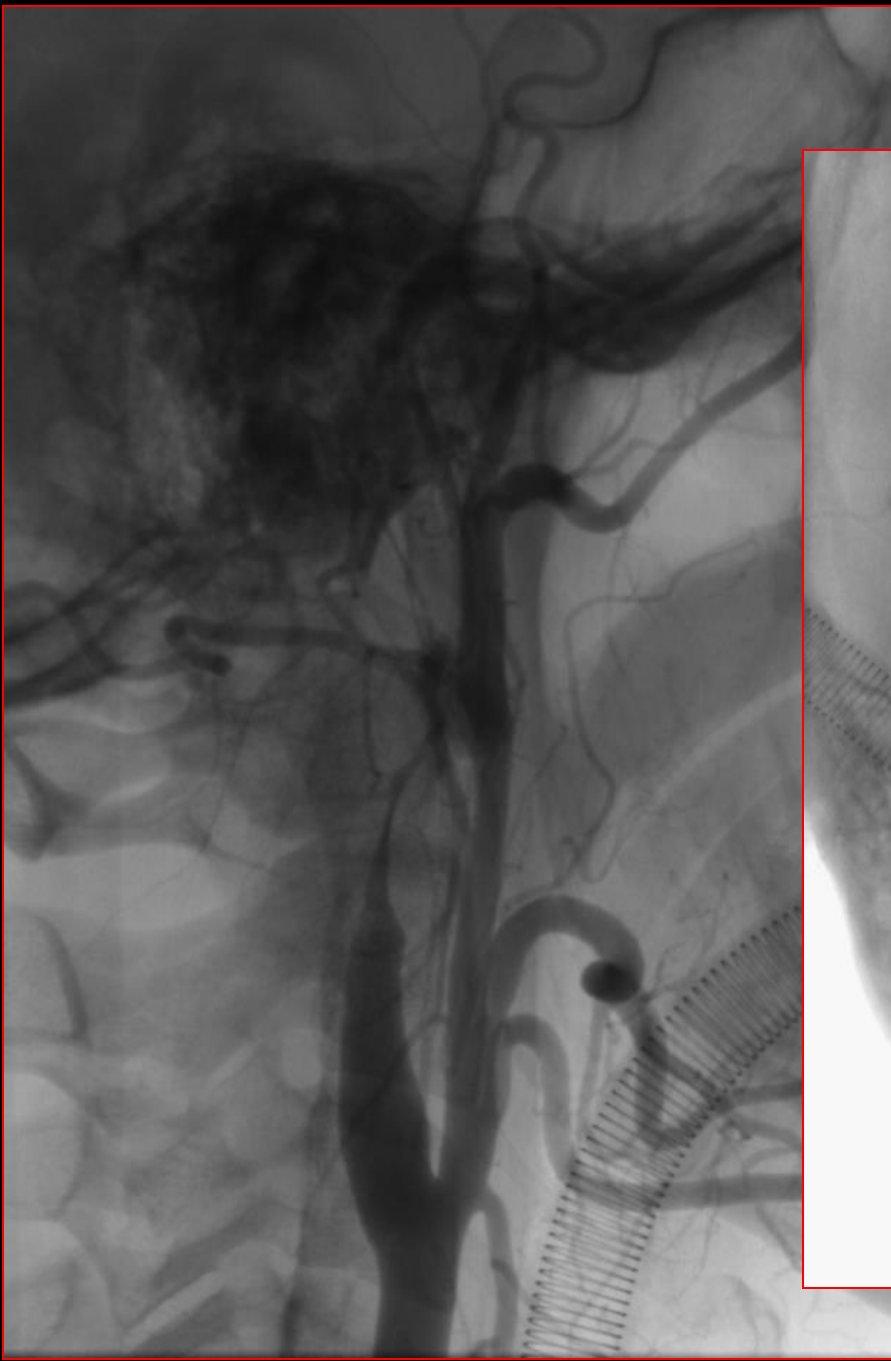
FS: 1.5

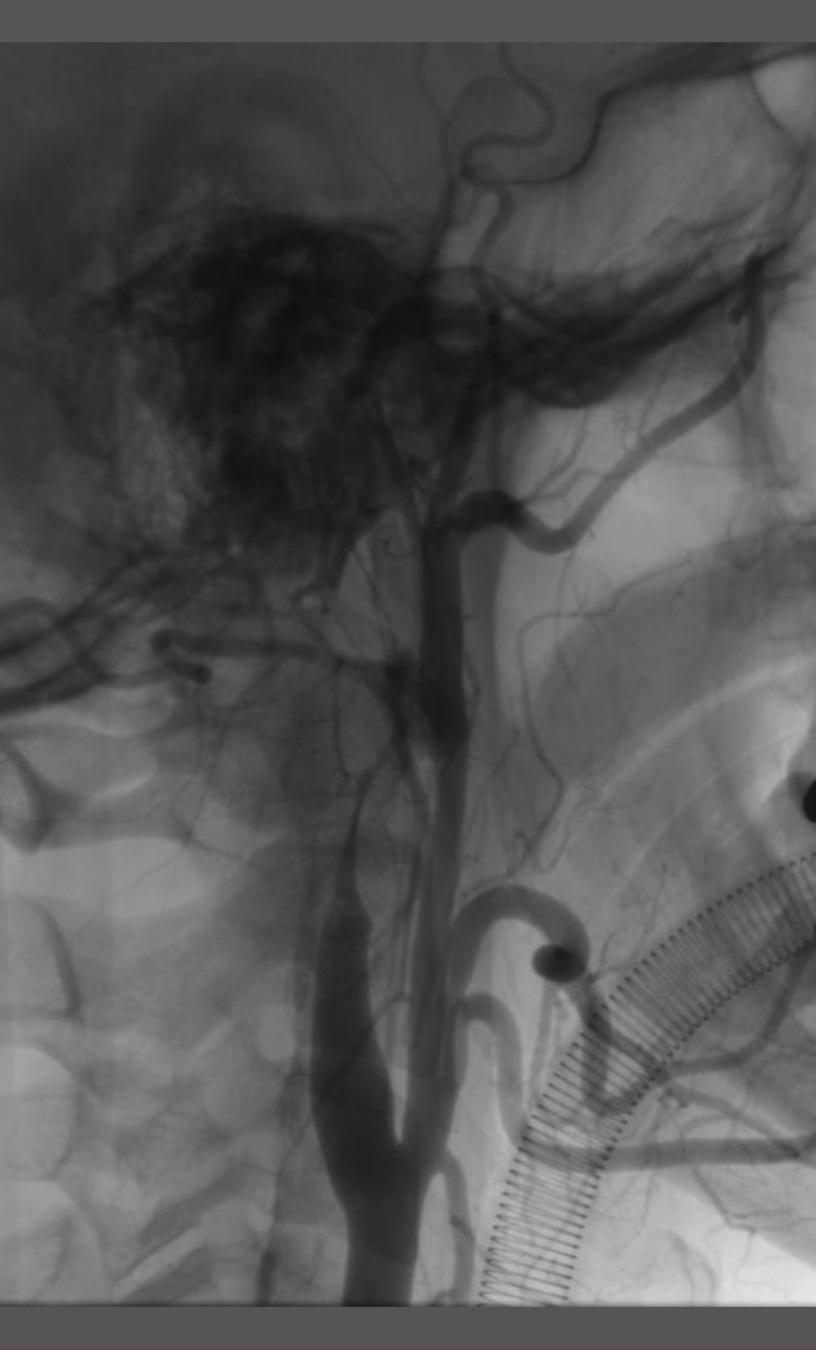
18/05/10 17.56.23

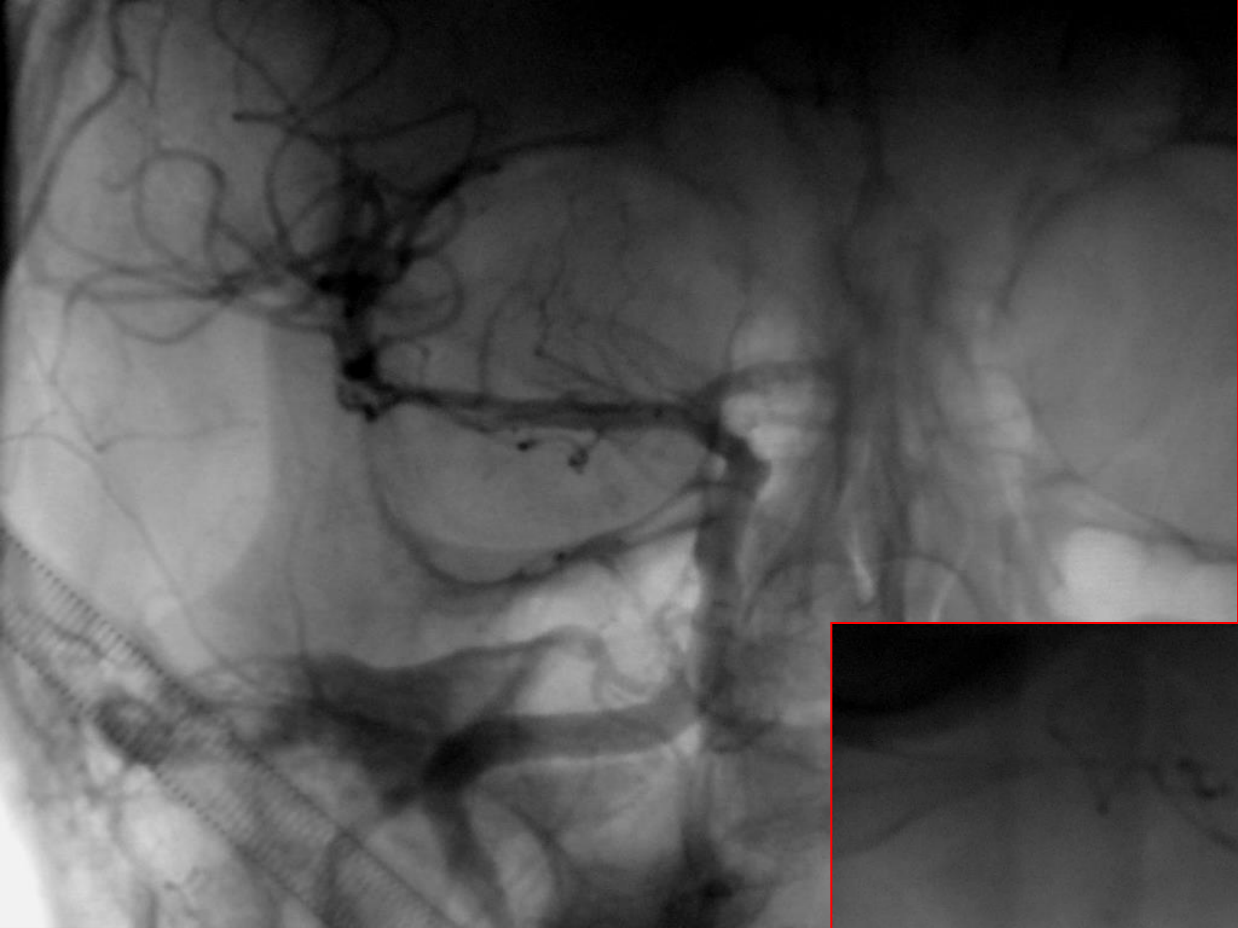
Made In OsiriX

FOV: 250.000 x 250.000
WL: 369 WW: 734

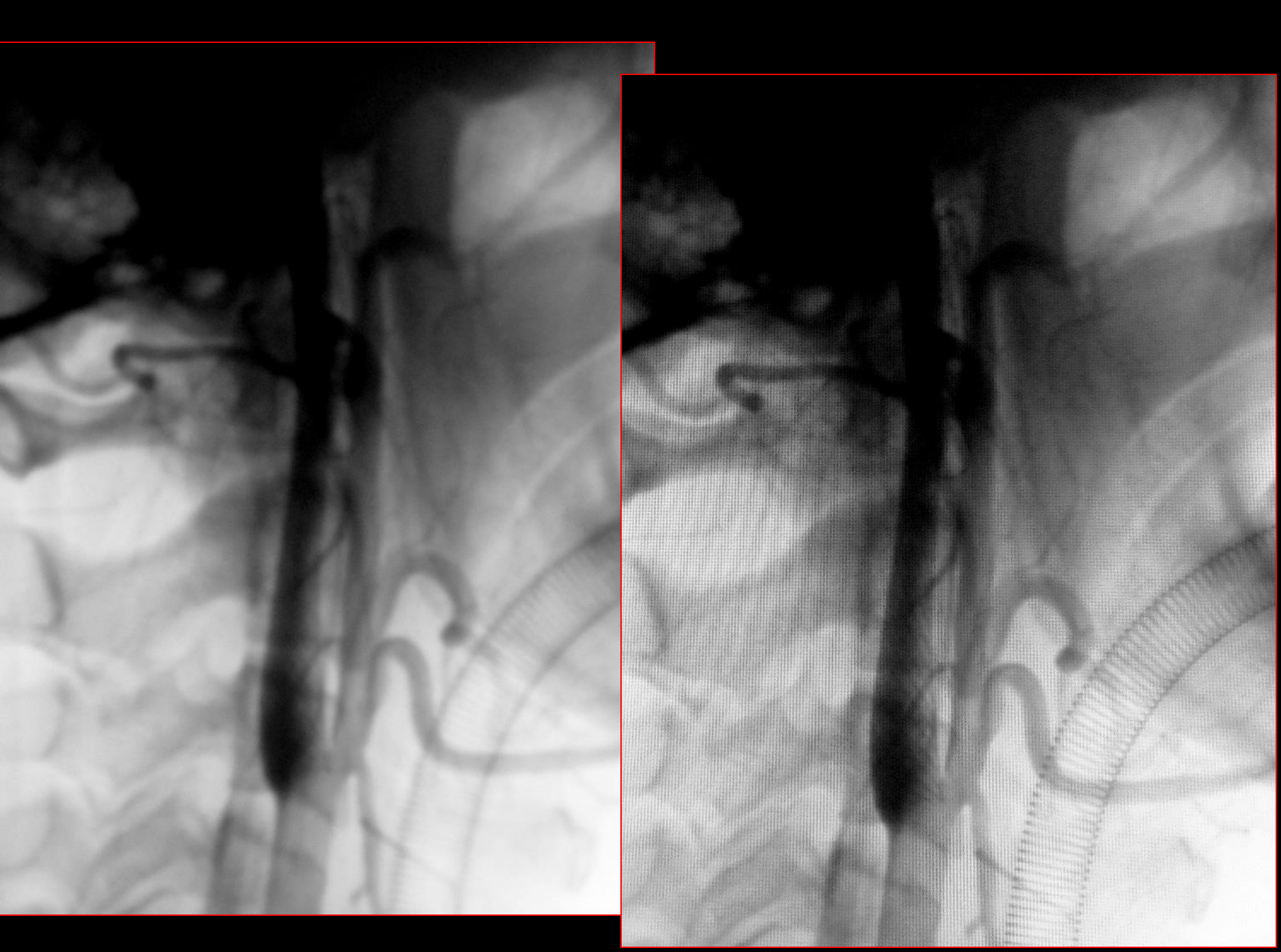








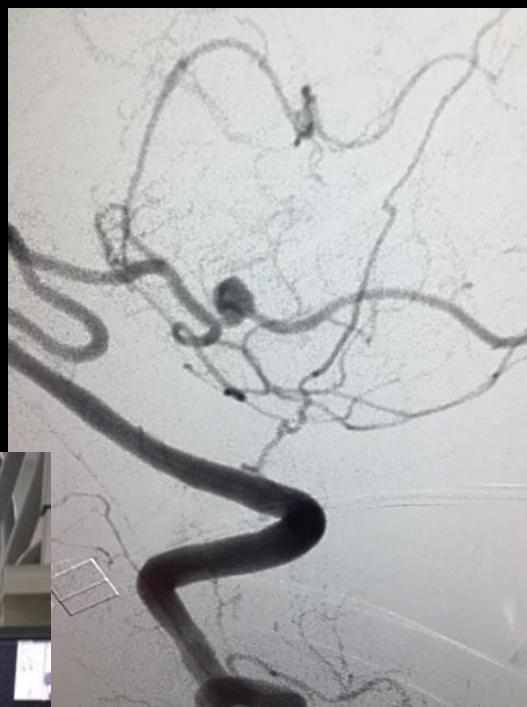


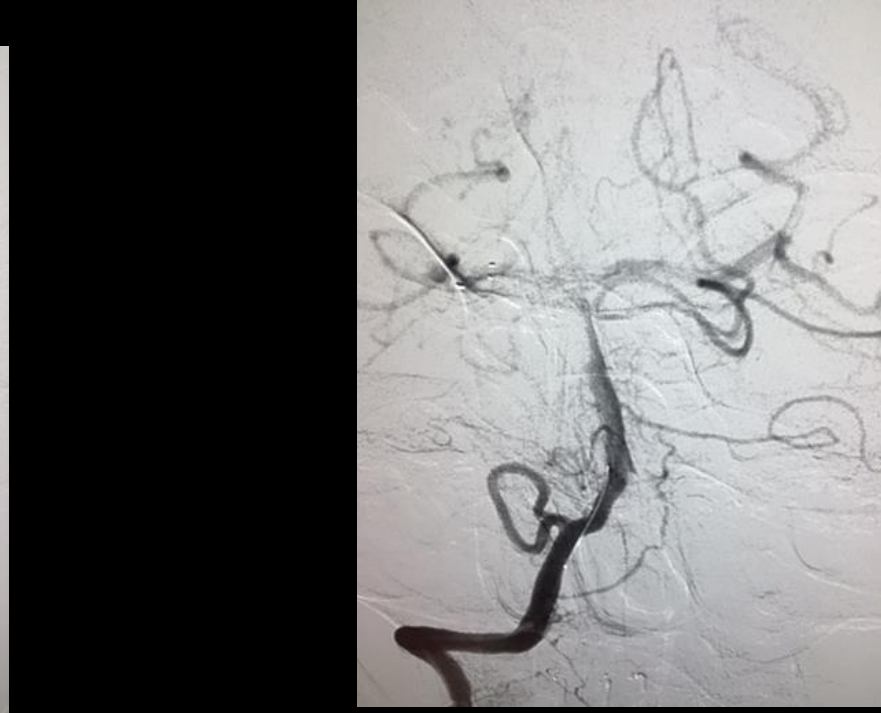
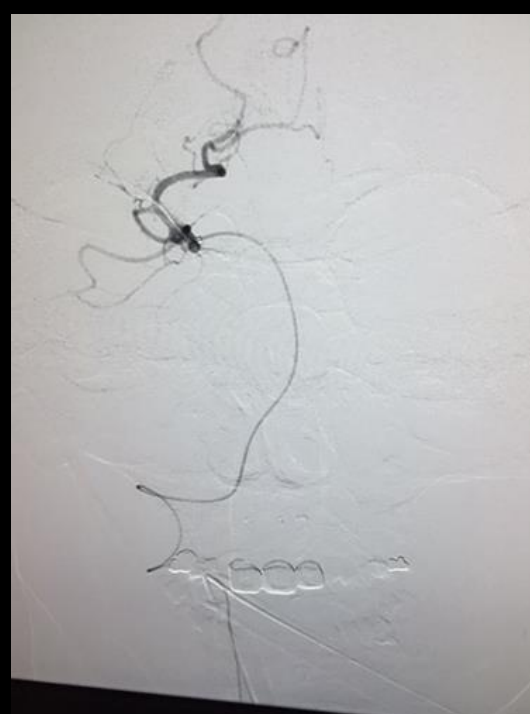






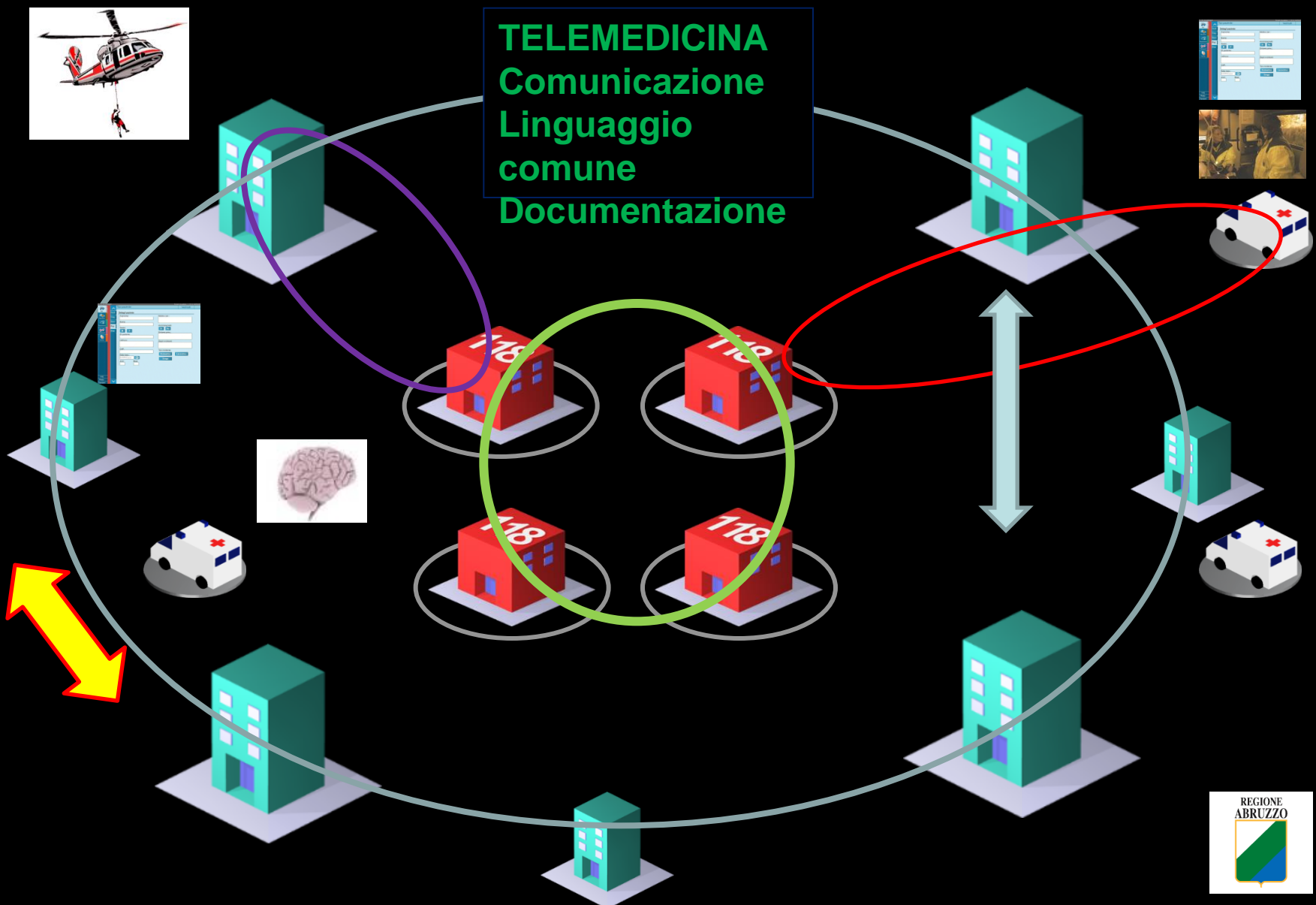








RETE dell'EMERGENZA



RCT of endovascular treatment

THE NEW ENGLAND JOURNAL OF MEDICINE

ORIGINAL ARTICLE

Endovascular Therapy after Intravenous t-PA versus t-PA Alone for Stroke

Joseph A. Grotta, M.D., Paul R. Albers, M.D., Joseph M. Gornbein, M.D.,
George D. Hsu, M.D., Kevin Eberle, M.D., Michael S. Holt, M.D.,
Jeffrey L. Jaretzki, M.D., Robert J. Jones, M.D., Michael Kru, M.D.,
Peter J. Levine, M.D., Alexander Lytle, M.D., Carol A. Marks, M.D.,
David Saksena, M.D., Edward Sasaki, M.D., Wayne M. Choi, M.D.,
Thomas Dohmen, M.D., Tom W. Madsen, M.D., William Gold, M.D.,
Michael J. Finsen, M.D., Steven J. Hauck, M.D., Jim C. Sotak, T. Gregoire, M.D.,
Stephen J. Thompson, M.D., Daniel J. Weisz, M.D., and Michael E. Saver, M.D.
for the International Management of Stroke (IMS) Investigators

THE NEW ENGLAND JOURNAL OF MEDICINE

ORIGINAL ARTICLE

A Trial of Imaging Selection and Endovascular Treatment for Ischemic Stroke

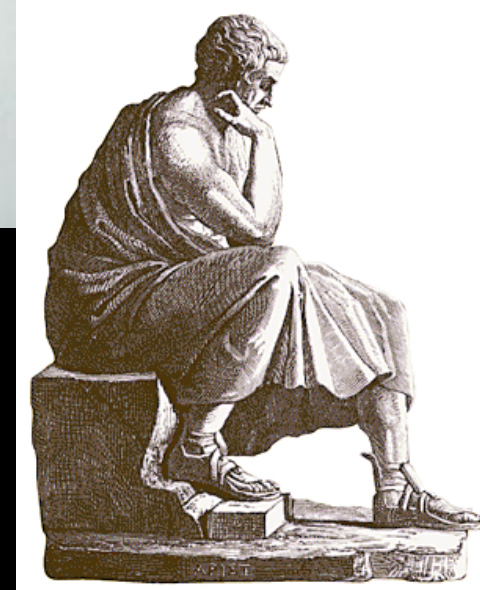
Christopher S. Cannon, M.D., Antonio Bernini, M.D., Philip Comerota, Dr.P.H.,
Jeffrey D. Cloft, M.D., David Horowitz, M.D., Zuhdi Hurni, M.D., Lin Kwong, M.D., Ph.D.,
David C. Liebold, M.D., James O'Brien, M.D., Leslie Schwamm, M.D., Albert J. Tsui, M.D.,
Rajiv Patel, M.D., Michael J. Finsen, M.D., Michael M. Mocco, M.D., Gregory E. Kaaygel, M.D.

THE NEW ENGLAND JOURNAL OF MEDICINE

ORIGINAL ARTICLE

Endovascular Treatment for Acute Ischemic Stroke

Alfonso Celani, M.D., Luca Vassalli, M.D., Michele Nichelatti, M.D.,
Annalisa Signori, Ph.D., Michela Ponzio, Ph.D., Fabrizio Silini, M.D.,
and Edwaris Bonardi, M.D., for the SYNTHESIS Expansion Investigators



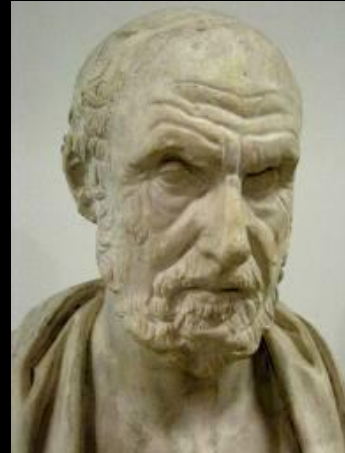
CONCLUSIONI

- Il trattamento endovascolare offre tassi di ricanalizzazione significativamente migliori;
- L'approccio meccanico sembra incrementare significativamente le probabilità di ricanalizzazione stabile;
- L'approccio meccanico è sicuro ed efficace nella rimozione dei coaguli, se utilizzato nelle appropriate finestre terapeutiche.



CONCLUSIONI

- Tuttavia, ulteriori validazioni andranno testate nella reale efficacia clinica del trattamento endovascolare.
- Aziende e ricerca devono superare ambizioni personali;
- Limitare gli studi sottodimensionati con scarsa numerosità e carenze strutturali;
- Stilare protocolli condivisi con i neurologi;
- Passare ad un sistema «Ippocratico».



Grazie per la cortese attenzione

